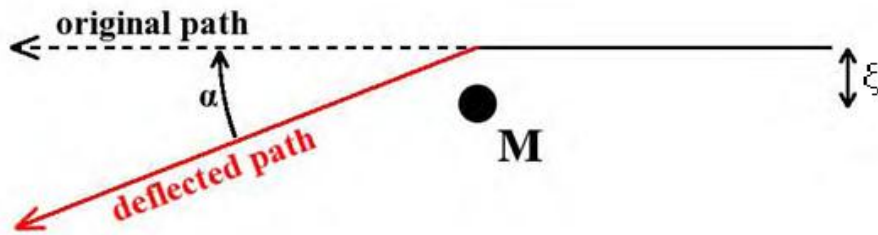


1-1 مقدمة:

التعدس الجذبي هو ظاهرة انحناء الضوء الصادر عن مصدر لدى مروره قرب كتلة كبيرة (بالقياسات الفلكية) فتتكون صور لمصدر الضوء، أشكالها ومواقعها تتباين تبعا لمتغيرات عدة، ففي هذا الفصل سنتطرق إلى هذه الظاهرة بالتفصيل من حيث تاريخ بدايتها ومظاهرها وأنواعها والارصادات التي أيدتها.

2-1 نظرة تاريخية:

إن جذور النظرية بدأت قبل 300 سنة، من ظهور النظرية النسبية العامة، في عمل اسحق نيوتن في كتابه (Optiks المنشور بين عام 1704 وعام 1720) وحسب فكرة نيوتن عن الضوء أنه يتكون من دقائق لها كتلتها لذا فإنها سوف تنجذب بواسطة قوة الجاذبية وتبعا لذلك فإن الضوء عند مروره بالقرب من جسم ثقيل بالقياسات الفلكية فإنه سوف ينحني مساره كما في الشكل (1,1).



الشكل (1,1) يبين انحناء مسار الضوء عند مروره بالقرب من جسم ثقيل حيث ان c هي سرعة الضوء، G هو ثابت الجاذبية العام، ξ هو بعد التأثير (Paraficz, 2010)

إلا أن Soldner في عام 1804 حسب زاوية التمدد استناداً إلى قوانين نيوتن عند مروره بالقرب من نجم من المعادلة الآتية [1.1]

$$\alpha = \frac{2MG}{\xi c^2} \quad \text{-----} [1.1]$$

(Schmidt,2000)، حيث أن M ، G ، C ، ξ هم على التوالي كتلة النجم، ثابت الجاذبية العام، سرعة الضوء، وبعد التأثير impact parameter .

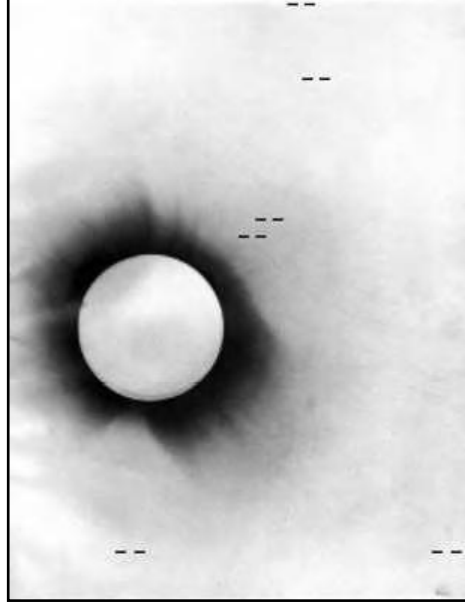
إلا أن الفهم الأشمل والمفهوم الأصلي للعدسات الجاذبية أعتمد على عمل آينشتاين عام 1915 عندما تنبأ بقيمة زاوية انحناء الضوء المار قرب كتلة ثقيلة (بالقياسات الفلكية) ووجد أن قيمة زاوية التمدد هي:

$$\alpha = \frac{4MG}{\xi c^2} \quad \text{-----} [1.2]$$

وهي ضعف قيمتها في المعادلة (1،1) وسبب ذلك أنه حسب النظرية النسبية العامة. الفضاء منحني أيضاً فضلاً عن انحناءات الضوء بسبب جاذبية الكتل [Schmidt,2000] (Paraficz , 2010)

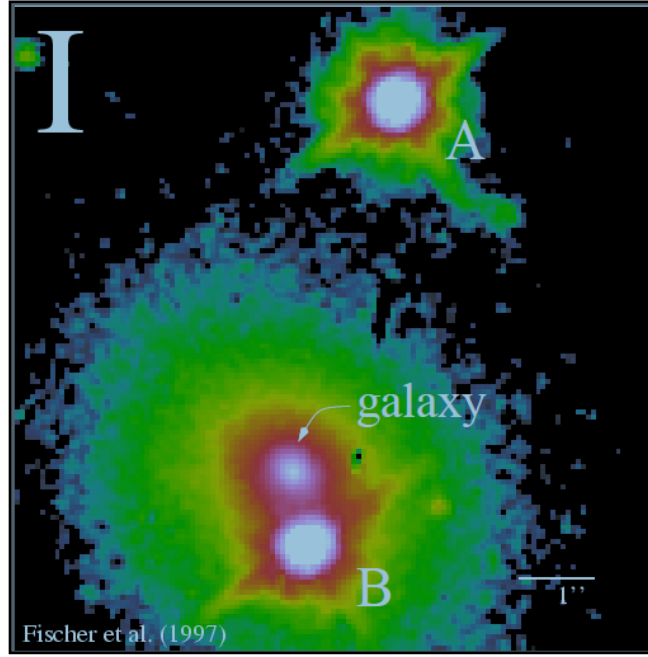
وقد تزايد الاهتمام بهذه الظاهرة في السنوات الأخيرة لما تمخضت عنه من استنتاجات مهمة على الاصعدة النظرية للفيزياء الكونية والفلك لتقديم فهم أعمق للكون، ولاستعراض تأريخ الظاهرة يمكننا تشخيص مرحلتين أساسيتين في دراسة العدسات الجاذبية المرحلة الاولى يمكن تحديدها بين انجاز النظرية النسبية عام 1915 واكتشاف أول عدسة جاذبية عام 1979 وهي مرحلة بحث نظري تمت فيها أغلب الحسابات والقوانين التي تصف الظاهرة فقد وافق نتائج الرصد الذي قام به Eddington وجماعته عام 1919 عندما قاسوا أثناء كسوف الشمس، قيمة زاوية انحناء شعاع الضوء القادم من النجوم القريبة من الشمس، وقارنوها بالقيمة التي تنبأ بها

آينشتاين حسب النسبية العامة فوجدوها 1.75 arcsec بفارق 25 % عن القيمة الذي حسبها،
(Paraficz , 2010) أنظر الشكل (2-1).



الشكل (2-1) يظهر فيه صورة سلبية 29/أيار 1919 لكسوف الشمس مؤشر فيها مواضع
النجوم المختبره في الفحص التاريخي لنظرية آينشتاين في الجاذبية (Paraficz , 2010).

وكان هذا الرصد الاول في تاريخ التعدس الجذبي ويُعدُّ Zwicky (1937) أول من
شخص المجرات كعدسات جذبية (Schmidt,2000)، بينما اشتق كل من Refsdel و
عام 1960 المعادلات الأساسية للتعديس الجذبي عن مصدر نقطي، وفي عام 1979 ظهر دليل
أوضح لرصد ظاهرة التعديس الجذبي وذلك برصد صورتين متماثلتين طيفيا للكوازر
0957+561 من قبل (Walsh et al.,1979) كما في الشكل (3-1).



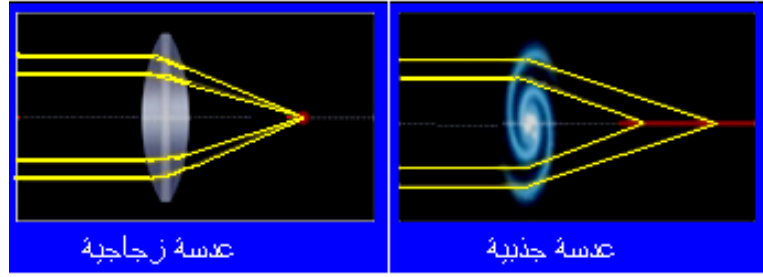
الشكل (3-1) يوضح صور نظام العدسة الجاذبية حيث تظهر صورتا الكوازر A و B من خلال المجرة (العدسة الجاذبية الكوازر 0957+56 quasar 1 المرصود من تلسكوب هابل الفضائي) (Fischer et al, 1997)

والمرحلة الثانية تمتد من عام 1979 وحتى وقتنا الراهن، الغالب فيها الإهتمام بالرصد الفلكي واكتشاف عدسات جاذبية جديدة واستخدام نتائج هذه الارصادات في ايجاد فهم نظري حول توزيع المادة في الكون وبتحديد هاتين المرحلتين أصبح ممكناً توجيه الدراسة في خضم الكم الكبير من البحوث حول الظاهرة ومن تحديد المسار فيها (Myers,S.T.,1999).

3-1 مظهر التعدس الجاذبي:

إن ظاهرة تكون الصور بالعدسات الجاذبية تشبه لحد ما عملية تكوّن الصور في العدسات

الزجاجية كما في الشكل (4-1) (Mukherjee , 2005).



الشكل رقم (4-1) يمثل المقارنة بين العدسات الجاذبية والعدسات البصرية

عدا إنها من الممكن أن تنتج صوراً متعددة لنفس المصدر، كما أن انحناء الضوء في العدسة الجاذبية يكون أكبر في المنطقة القريبة من المحور البصري الذي يمر بمركز العدسة وليس للعدسة الجاذبية نقطة بؤرية وإذا كانت العدسة والمصدر والراصد على خط واحد تتكون صورة للمصدر على شكل حلقة حول العدسة وإذا كانت العدسة الجاذبية مائلة بزاوية عن المحور البصري سوف تظهر للمصدر صور متعددة مشوهة وقد تكون العدسة الجاذبية كوكب أو نجم أو مجرة أو عنقود مجرات أو ثقب اسود أو مادة معتمة أو massive astronomical compact halo objects [MACHO].

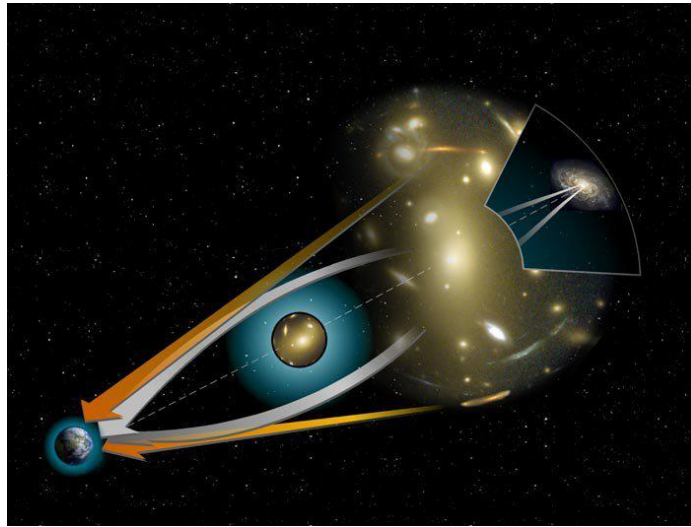
إن من أهم نتائج بحوث الفيزياء في مجال التعدس الجاذبي هو الدليل المتنامي بأن الطاقة المعتمة والمادة المعتمة مكونان كبيران للكون حيث تمثل الطاقة المعتمة حوالي 0.73 في حين تشكل المادة المعتمة حوالي 0.23 (Riess et al 1998) (Spergel et al 2007).

إن حساب القيمة الدقيقة لكثافة الطاقة المعتمة وكثافة المادة المعتمة هو هدف كبير من أهداف الفيزياء الفلكية الحديثة من خلال دراسة حالات التعدس الجاذبي القوي والضعيف والدقيق إذ لكل نوع من أنواع التعدس الجاذبي مدى scale فيكون التعدس دقيق حيث تكون العدسة نجماً أو كوكباً compact object، أما في حالتي التعدس الجاذبي القوي والضعيف فتكون العدسة إما مجرة أو عنقوداً مجري وكذلك صور المصادر عن العدسات الجاذبية متنوعة فهي في التعدس القوي صور متعددة بينما يكون فقط تشويه بسيط في الصورة في التعدس

الضعيف في حين لا يوجد اي تشويه في صور المصدر إذا وجدت حالة تعدس دقيق، سوى اختلاف الشدة الضوئية لصورة المصدر بتعاقب الازمان .

4-1 انواع التعدس الجذبي

إن انحناء الضوء الجذبي يؤثر على خصائص صور المصدر ولكون أن زاوية الانحناء تعتمد على بعد التأثير (impact parameter) لذلك تتغير هذه الزاوية طردياً مع تغير كتلة العدسة الجذبية، ولقد بينت الارصادات الفلكية وجود أشكال مختلفة من العدسات الجذبية مما دعا الباحثين إلى تصنيف وتقسيم العدسات الجذبية لغرض الإفادة من خصائصها، وقد صنفت العدسات الجذبية بحسب زاوية التعدس وكذلك حسب أعداد وأشكال الصور الناتجة عنها. والشكل (5-1) يوضح ظاهرة التعدس الجذبي بأشكالها المتعددة.

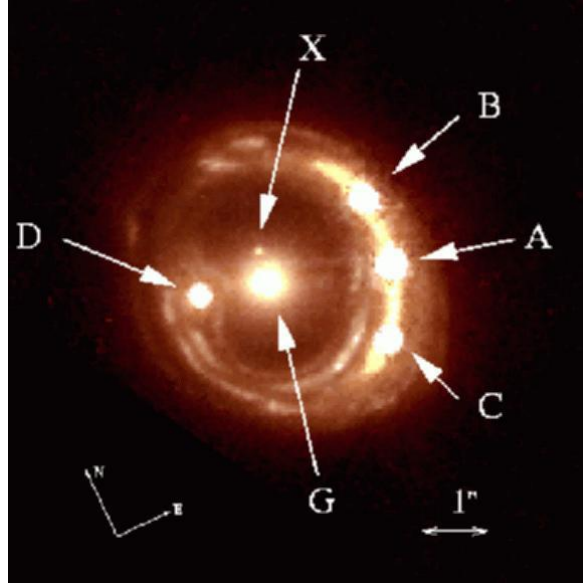


الشكل (5-1) يوضح ظاهرة التعدس الجذبي، حيث إن وجود مجرة أو مجموعة مجرات بين الأرض في يسار الصورة و الكوازار في يمين الصورة يؤدي إلى انحناء الضوء حول المجرة في المنتصف من مختلف الاتجاهات و بالتالي نرى صوراً مختلفة ومشوهة على شكل اقواس للجرم نفسه.

5-1 تصنيف العدسات الجاذبية بحسب زاوية التعدس :

1-5-1 التعدس الجاذبي القوي [strong gravitational lensing]

إن فكرة التعدس الجاذبي القوي أتت من (Zwicky 1937) حيث أشار إلى أن المجرات الكونية ثقيلة بشكل كافٍ لتحني الضوء القادم من مصادر خلفية ذات شدة ضوئية عالية وتظهر صوراً متعددة، غير أن المصمم الأكثر شهرة في مجال التعدس الجاذبي القوي هو Sjur Refsdal الذي نشر بحثاً نظرياً جديدة بالملاحظة مناقشاً جميع أنواع مظاهر التعدس الجاذبي القوي، ففي عام 1964 أشار بأن الصور المتعددة للكوازرات (images of strongly lensed quasars) يمكن بواسطتها حساب كتلة المنطقة الداخلية للمجرة، كما يمكن استعمالها في تحديد ثابت هابل، لقد كان Refsdal واحداً من الأوائل الذين بحثوا ظاهرة زمن التأخير القائمة على حقيقة أن أزمان الانتقال (travel times) لصور المصدر ليست متساوية، فإذا كان المصدر له تغيرات حقيقية عند ذلك يمكن ملاحظة هذه التغيرات خلال أزمان مختلفة في صور المصدر، اليوم نجد في متناول أيدي باحثي علم الكون 200 كوازر ذو صور متعددة والقائمة ما زالت في تزايد (Walsh et al, 1979)، وقد أصبحت ظاهرة التعدس الجاذبي القوي واحدةً من الآليات النظرية المهمة في الفيزياء الكونية وعلم الكون وغالباً ما تكون العدسة الجاذبية مجرة أو عنقود مجري فباكتشاف أول كوازر مرئي (0957-561) QSO ، بدأ العمل الرصدي للتعُدس الجاذبي، فالعدسات الجاذبية التي يظهر بوجودها صور مضاعفة للمصدر ومكبرة تسمى بـ (العدسات الجاذبية القوية) (Paraficz, 2010) فقد تكون واحدة من هذه الصور مكبرة وتكون تشوهات صور المصدر في هذا النوع مرئية بسهولة كما في الشكل رقم (6-1).



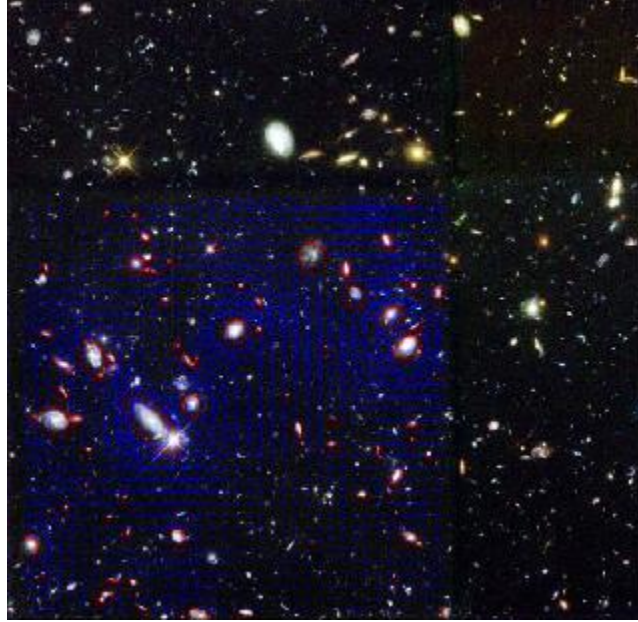
الشكل (6-1) يوضح تشوهات صورة المصدر RXS J1131-1231 متمثلة بالأقواس والتعدد، حيث أن صورة X غير مكبرة للمصدر في حين صور A,B,C,D,G صور مكبرة ومشوهة لنفس المصدر وهذا التنوع يعزى إلى الكثافة المتباينة لأجزاء العدسة الجاذبية (Claeskens et al., 2006)

تحدث ظاهرة التعدس الجذبي القوي عندما يحدث انحناءً قوياً للضوء (زاوية الانحناء كبيرة) ينتج عنه ظواهر يمكن ملاحظتها بسهولة مثل حلقة آينشتاين والأقواس والصور المتعددة (الصورتان، الأربع صور أو ما يدعى بصليب آينشتاين) وشكل الصور عائد إلى درجة اتساق لموقع المصدر مع المحور وكذلك إلى الشكل الهندسي للعدسة الجاذبية وعادة ما يمكن مشاهدة هذه الصور في قلب العنقود المجري إذا كان المصدر مجرةً بعيدةً ، وفي المجرات حيث يكون المصدر كوازراً بعيداً (Holder et al , 2003).

2-5-1 التعدس الجذبي الضعيف [weak gravitational lensing]

في هذا النوع تكون زاوية التعدس أصغر مما هي عليه في التعدس الجذبي القوي، وغالبا ما تكون العدسة الجاذبية هي المادة المعتمة وتحدث تشوهات صغيرة لصورة المصدر فيتم

الكشف عن هذا التعدس بالتحليل الاحصائي لعدد كبير من المصادر (Paraficz, 2010) كما في الشكل رقم (7-1).



الشكل (7-1) يبين التعدس الجذبي الضعيف حيث يظهر في يسار الصورة، الخطوط الزرقاء الممثلة للنشوية الحاصل بسبب وجود المادة المظلمة والخطوط الحمراء المحددة للأجرام المشوهة صورها.

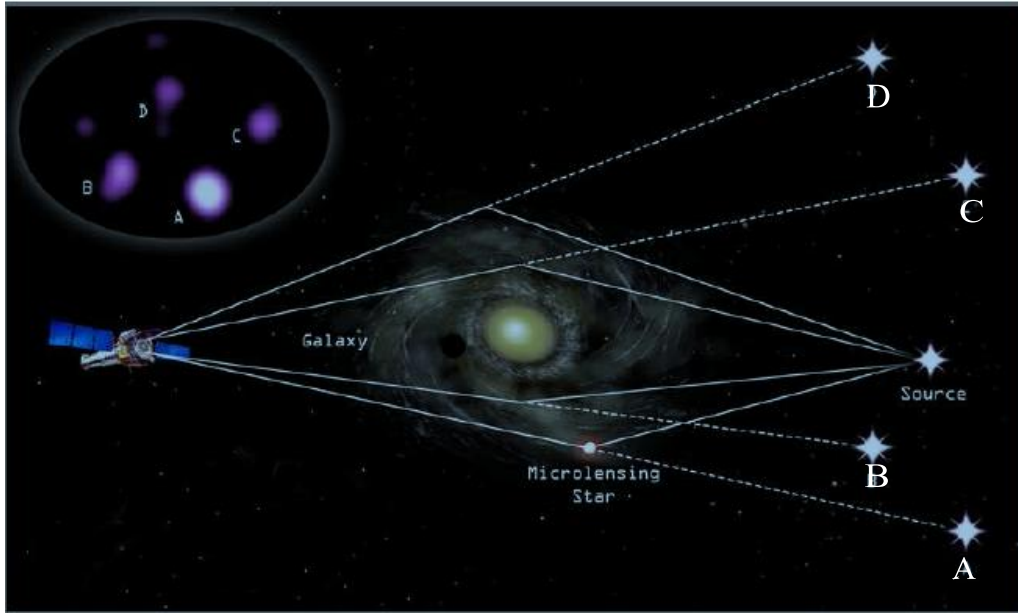
(Image credit: R. Williams (STScI), the Hubble Deep Field Team and NASA.) (Image credit: [Mike Hudson](#). The [link](#) is to his research page.)

إن التعدس الجذبي الضعيف يُعدُّ أداةً واعدةً جداً لتقصي وجود المادة المظلمة والطاقة المظلمة لكونه يزود بطريقة مباشرة رسم خريطة لتوزيع المادة المظلمة في الكون، ومن هذا التوزيع للمادة المظلمة يمكن تقصي وفهم طبيعة المادة المظلمة وتحديد شكل أكبر حيث تؤثر المادة المظلمة على التطور الهيكلي للكون وهذه الطريقة مستعملة بشكل واسع الآن ولكن نطاق إشارة التعدس الضعيف ضيق جداً بحيث أن الكشف عن التعدس الضعيف يعتمد على دقة التقنية المستعملة في تحليل المعلومات، وطبقاً للارصادات الحالية يسود الاعتقاد بأن الجزء الكبير للكون هو مادة مظلمة لا تبعث اشعة كهرومغناطيسية، ووجود هذه المادة المظلمة مستنتج بشكل

غير مباشر من تأثيراتها الجذببية على حركة الأجرام الفلكية و تأثيراتها الجذببية على الانتشار الضوئي.

3-5-1 التعدس الجذببي الدقيق [micro gravitational lensing]

ويحدث هذا التعدس عندما يكون هناك كوازرا تفصله عن الراصد عدسة مجرية فيها نجم مفرد يمر بالقرب منه شعاع المصدر فبتأثيره الجذببي يسبب تعدساً دقيقاً لضوء المصدر (زاوية التعدس α صغيرة جداً بضع مايكرو ثانية قوسية arcsecond).

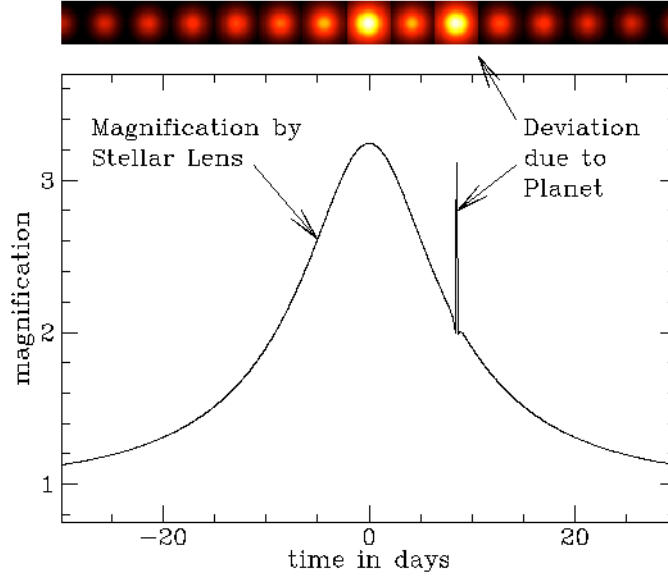


الشكل (8-1) يمثل التعدس الدقيق بوجود نجم في طريق أشعة المصدر المنحنية عن تعدس جذببي قوي بتأثير المجرة (أنظر صورة المصدر A).

ولا يمكن رصد ذلك في هذا النوع إذ ليس هناك تشويه لصورة المصدر يمكن أن يرى، فصورة المصدر ليست مشوهة، ولكن كمية الضوء القادم من المصدر تتغير شدته مع مرور

الزمن. (Wambsganss J., 1990)

اكتشف Irwin وآخرون عام (1989) التعدس الجذبي الدقيق في صور الكوازر
 Q2237+0305، وحتى عام 2005 أمكن رصد 2000 حالة تعدس جذبي دقيق، ويستخدم
 التعدس الجذبي الدقيق للكشف عن الكواكب في المجموعات الشمسية. كما في الشكل (10-1)



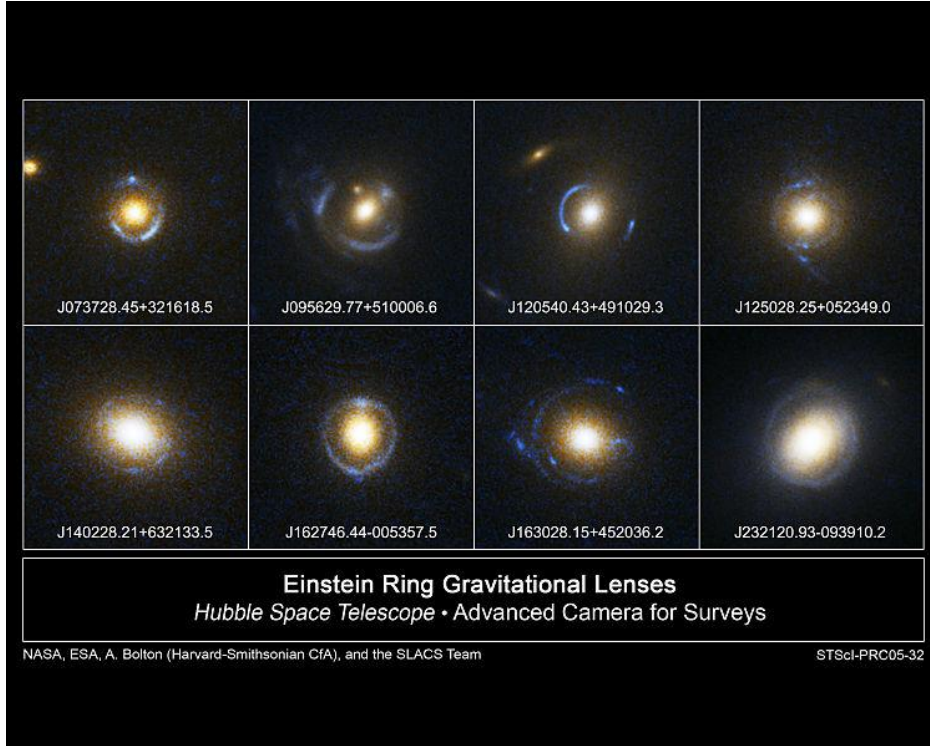
OGLE-2005-BLG-390

الشكل (10-1) يبين أن كمية الضوء القادم من المصدر تتغير شدته مع مرور الزمن و يبين
 تأثير الانحناء الضوئي الدقيق الناتج عن مرور كوكب (Beaulieu et al 2006)

6-1 تصنيف العدسات الجذبية بحسب عدد وأشكال الصور:

1. الاشكال الحلقية للصور (وتظهر عندما يكون الراصد والعدسة الجذبية والمصدر تقع

على المحور البصري) وفيما يلي الشكل (11-1) نظهر فيه الصور الحلقية:



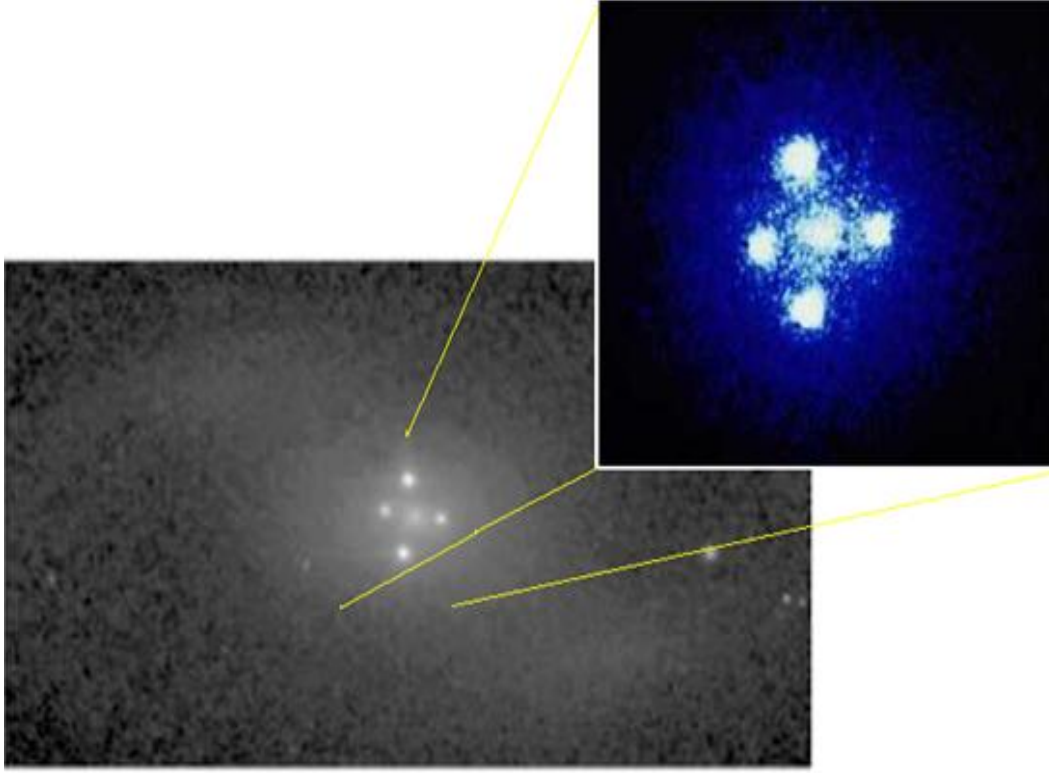
الشكل (11-1) يبين تكون صور على شكل حلقة آينشتاين

2. الصور الثنائية (عندما يكون شكل العدسة كرويا) كما في الشكل (12-1).



الشكل (12-1) يظهر فيه the quasar 0957+561 بصورتيه A and B (Walsh et al, 1979)

3. الصور الرباعية (عندما يكون شكل العدسة ببيضويا) كما في الشكل (13-1)



الشكل (13-1) يمثل نظام التعدس الجذبي 2237+0305 متضمنا عدسة جذبية هي مجرة لولبية ذات زحزحة حمراء جذبية $ZL=0.039$ واربعة صور لمصدر (كوازر) ذو زحزحة حمراء جذبية $ZS=1.69$ ، الصور مأخوذة بواسطة تلسكوب هابل الفضائي

وهذا النظام التعدسي مكتشف من قبل (Huchra et al 1985).

7-1 أهمية ظاهرة التعدس الجذبي:

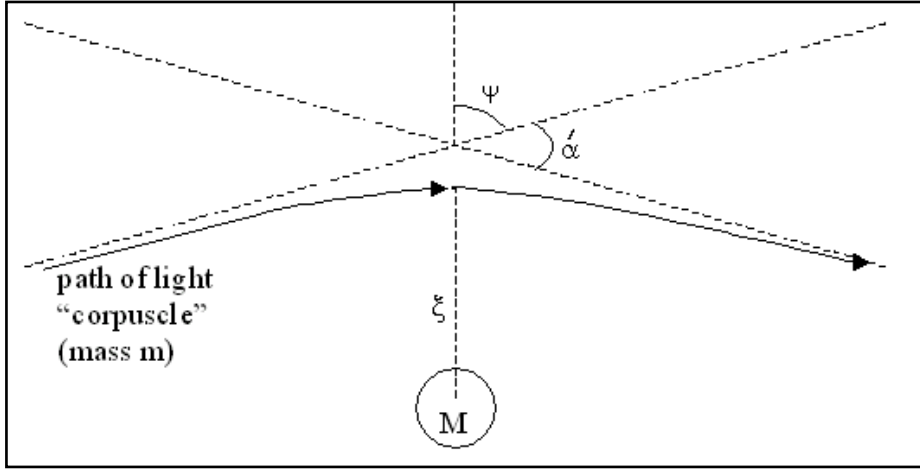
تستعمل الظاهرة لتحديد كتلة العناقيد المجرية وكذلك في تكبير الاجسام البعيدة (بالقياسات الفلكية) فهي تتصرف كتلسكوب طبيعي، ولها أهمية كبيرة في دراسات التوزيع الكتلي للمواد المركزة المضغوطة (Massive Astronomical halo Objectes,) (MACHO)، وحساب قيمة ثابت هابل باستخدام التعدس الجذبي فمثلاً (saha et al ,2006)

حدده بـ $H_0 = 72^{+8}_{-11} \text{ km s}^{-1} \text{ Mpc}^{-1}$.

إنّ إستخدام نموذج معين للعدسة الجذبية وقياس زمن التأخير بين صور العدسة يجعل قيمة ثابت هابل المحسوبة ستختلف عندما يكون نموذجاً آخرّاً للعدسة، إلا أنّ في عموم حسابات الدراسات لحد الآن كان معدل قيمة ثابت هابل تتراوح بين $[60 \rightarrow 75] \text{kms}^{-1} \text{Mpc}^{-1}$ ، وبدأت أهمية الظاهرة في الكشف عن المادة المظلمة في حالة العدس الجذبي الدقيق من ملاحظة التباين في الشدة الضوئية بمرور الزمن الحاصل جراء عدسة جذبية (هي المادة المظلمة) والمصدر نجم في مجرة درب التبانة (mcclelland,2008).

1-2 انحناء الضوء حسب مفاهيم نيوتن:

على فرض أن ε هو عامل السماحية لمرور الضوء ، E هي طاقة الوضع للفوتون،
 L هو الزخم الزاوي للفوتون ، ξ هو بعد التأثير (impact parameter) ، α زاوية انحناء
 الضوء m' هي كتلة الفوتون ، M هي الكتلة الكبيرة. (Frankle and Brecher, 1982)
 الزاوية $\alpha = (180 - 2\psi)$



الشكل رقم (1-2) يبين انحناء الضوء (في ضوء مفهوم نيوتن)

في الشكل (1-2) ينحني الضوء بزاوية α بسبب جاذبية الكتلة M حيث يعطي عامل السماحية لمرور الضوء حسب العلاقة (1-2).

$$\varepsilon = \sqrt{1 + \frac{2EL^2}{G^2M^2m^3}} \quad \text{فيكون} \quad (1-2)$$

$$E = \frac{1}{2}mv^2 - \frac{GMm}{\xi} \quad \text{حيث أن} \quad (2-2)$$

$$L = \xi mv \quad \text{وأن} \quad (3-2)$$

$$\varepsilon = \sqrt{1 + \frac{\xi^2 v^4}{G^2 M^2} - \frac{2\xi v^2}{GM}} = \sqrt{\left(1 - \frac{\xi v^2}{GM}\right)^2} = \frac{\xi v^2}{GM} \pm 1 \quad \text{اذن} \quad (4-2)$$

$$(C=V) \quad \text{ولما كان} \quad (5a-2)$$

$$\frac{c^2 \xi}{GM} \gg 1 \quad \text{وان} \quad (5b-2)$$

$$\varepsilon \approx \frac{c^2 \xi}{GM} \quad \text{فيكون (6-2)}$$

وحيث ان قيمة الزاوية ψ هي 90 درجة، عندما تكون السماحية $\varepsilon = \infty$ ، في حين $\cos 90=0$

$$\cos \psi \geq \frac{1}{3} \quad \text{إذن بشكل عام} \quad \cos \psi = \frac{1}{\varepsilon} \quad \text{تكون } \varepsilon = \infty$$

$$\cos(\psi) = \frac{1}{\varepsilon} \Rightarrow \psi = \cos^{-1}\left(\frac{GM}{c^2 \xi}\right) \quad \text{أذن (7-2)}$$

$$\alpha' = \pi - 2\psi = 2\left(\frac{\pi}{2} - \psi\right) \approx 2\left[\frac{\pi}{2} - \left(\frac{\pi}{2} - \frac{GM}{c^2 \xi}\right)\right] \quad \text{فيكون (8-2)}$$

$$\alpha' = \frac{2MG}{c^2 \xi} \quad \text{(9-2)}$$

(Blandford. R. D and Narayan. R ,1992)

2-2 التعدس الجذبي حسب النسبية العامة (هندسة الزمكان):

إنّ مما حفز التوجه العلمي نحو هذه الظاهرة هو الشرح الوافي الذي قدمته نظرية النسبية العامة في فهم الظاهرة وفيما يلي التفصيل.

1-2-2 نظرية النسبية العامة:

إنّ من أهم ما أثار اهتمام الباحثين في علم الكون، هالات المجرات ومم تتكون، والحركة الدورانية للكون، فقد كانت هذه الاهتمامات استفسارات أجابت عليها النظرية النسبية العامة من خلال ظاهرة التعدس الجذبي، حيث دعم مفهوم التعدس الجذبي (عند قياس مقدار انحناء الضوء أثناء الكسوف عام 1919 ومطابقته لحسابات آينشتاين في نظرية النسبية العامة) مفاهيم نظرية النسبية العامة منذ عام 1919، و تبع ذلك اكتشاف Walshm, Carswell and Weymann (1979) للعدسة الجذبية ذات الصور المضاعفة مما زاد الاهتمام بالتعدس الجذبي بشكل كبير، فقد كان أفضل وصف لظاهرة التعدس الجذبي حتى يومنا هذا هو من خلال

نظرية النسبية العامة إذ أنه حسب مفهوم آينشتاين للجاذبية فإن وجود الكتلة يغير من شكل الزمكان وإن تأثير التعدس الجذبي يمكن اشتقاقه من معادلة المجال لآينشتاين (Bartel, 1985).

$$R_{\mu\nu} - \frac{1}{2} R g_{\mu\nu} + \Lambda g_{\mu\nu} = \frac{8\pi G}{c^4} T_{\mu\nu} \quad (10-2)$$

حيث أن G ثابت الجاذبية و $T_{\mu\nu}$ ممتد ضغط الطاقة الذي يعني كمية المادة الموجودة و $R_{\mu\nu}$ ممتد التحذب و R التحذب الغير متجه و $g_{\mu\nu}$ ممتد المصفوفة و Λ الثابت الكوني فالحـد $\Lambda g_{\mu\nu}$ اضافـه آينـشتاين مؤخرـا ليتسنى تصور كون مستقر والمعادلة (10-2) تصف الجاذبية بدلالة تحذب الزمكان وتحدد هندسة الزمكان معتمدة على وجود المادة، حلول هذه المعادلة هي مركبات ممتد المصفوفة (Clifford M. Will., 2011) والتي تستعمل لحساب مسارات الاجسام أو مسارات الضوء المنحنية وتضاريس الخطوط في الهندسة الناتجة. والممتدات في الحقيقة هي مضاعفات المتجهات وإذا امعنا النظر في معادلة المجال لآينشتاين Einstein field equation (EFE) نجد أن الطرف الايمن من المعادلة يمثل وجود المادة، اما الطرف الايسر فهو يمثل هندسة الزمكان الذي يحتويها والحل لمعادلات المجال هذه، هي المصفوفة المتناظرة كرويا المعتمدة على الزمن (Lubbe, C. Antonio, J., 2011)، هذه المصفوفة هي المناسبة لوصف أنتشار الضوء على مقربة من مصدر كتلي كبير، وإذا كان الفضاء خالياً إلا من الكتلة M فانه عند $r=0$ يكون حل معادلات المجال كما يلي:

$$0 = \left(1 - \frac{2MG}{rc^2}\right) c^2 dt^2 - \frac{dr^2}{1 - \frac{2MG}{rc^2}} - r^2 (d\theta^2 + \sin^2 \theta d\phi^2) \quad (11-2)$$

وهذا الحل لـ Schwarzschild حيث ان θ و α و r هي الاحداثيات الكروية

و t يمثل الزمن، فتكون زاوية الانحناء:

$$\alpha = \frac{4MG}{c^2 \xi} \text{ (12-2)}$$

(Brecher, 1982) لاحظ المعادلة (9-2) للمقارنة في حين أن آينشتاين عام 1915

درس حركة الاجسام المتحركة بتعجيل، وهذا التعجيل بشكل عام يحدث بشكلين: إما أن تكون

هناك قوة خارجية مؤثرة ويسمى هذا التعجيل بالتعجيل القصوري والشكل الثاني للتعجيل تعجيل

الجاذبية وقد بنيت النظرية النسبية العامة على مبدئين اساسيين هما:

(1) مبدأ التكافؤ **principle of equivalence** : مبدأ التكافؤ الذي ينص على ان: الكتلة

القصورية والكتلة الجاذبية متكافئتان ولا يمكن التمييز بينهما أي أن الاطار المعجل يكافئ الاطار

الجذبى وانه في السقوط الحر للاجسام جميع الاجسام تسقط بنفس المعدل في مجال الجاذبية

وبغض النظر عن كتلتها وتركيبها المادي وهذا المبدأ مبني على الملاحظة التجريبية أما رياضياً

فلبرهنة مبدأ التكافؤ، يمكن استعمال قانون نيوتن لحركة جسيم كتلته القصورية m_i وواقع تحت

تأثير قوة خارجية (Acosta, 2001)

$$F = m_i a \text{ (13-2)}$$

حيث ان a هو التعجيل أما الكتلة القصورية m_i فتعبر عن معامل مقاومة الجسم لتأثير

القوى الخارجية، في حين كتلة الجاذبية (النتاقل) mg فهي معامل يعين مدى قوة جذب الجسم

تحت تأثير المجال الجذبى كما في المعادلة:

$$F = m_g g \text{ (14 - 2)}$$

وبتطبيق مبدأ التكافؤ للكتلتين نجد ان:

$$m_i \frac{d^2x}{dt^2} = m_g g \text{-----} (15-2)$$

$$g = \frac{d^2x}{dt^2} \text{-----} (16-2)$$

من هذه المعادلة (16-2) المعروفة جدا بين اوساط الفيزيائيين يتبين بان معدل سقوط

الاجسام تحت تأثير الجاذبية (مع اهمال اية قوى خارجية اخرى) لا يعتمد على كتلتها، فحاول أينشتاين ان يبرهن في نظرية النسبية العامة أن الجاذبية لها تأثير على الزمكان.

(2) مبدأ عدم التغير principle of invariance وينص على أن الصيغة الرياضية للقوانين

الفيزيائية لا تعتمد على الحالة الحركية للأحداثيات سواء أكانت هذه الحركة منتظمة أم بتعجيل،

فما عُلِمَ من النسبية الخاصة أن القوانين التي تصف الظواهر الفيزيائية في الفراغ يجب ان تكون

مستقلة عن سرعة المراقب الذي يدون القياسات وكذلك يجب أن يكون لهذه القوانين نفس الشكل

والمكونات وذلك عندما نرجعها إلى احداثيات كارتيزية اخرى تتحرك بسرعة منتظمة اما في

النسبية العامة فالقوانين موضوعة بصورة عامة ولا تعتمد على حركة المصدر أو الراصد، وهذه

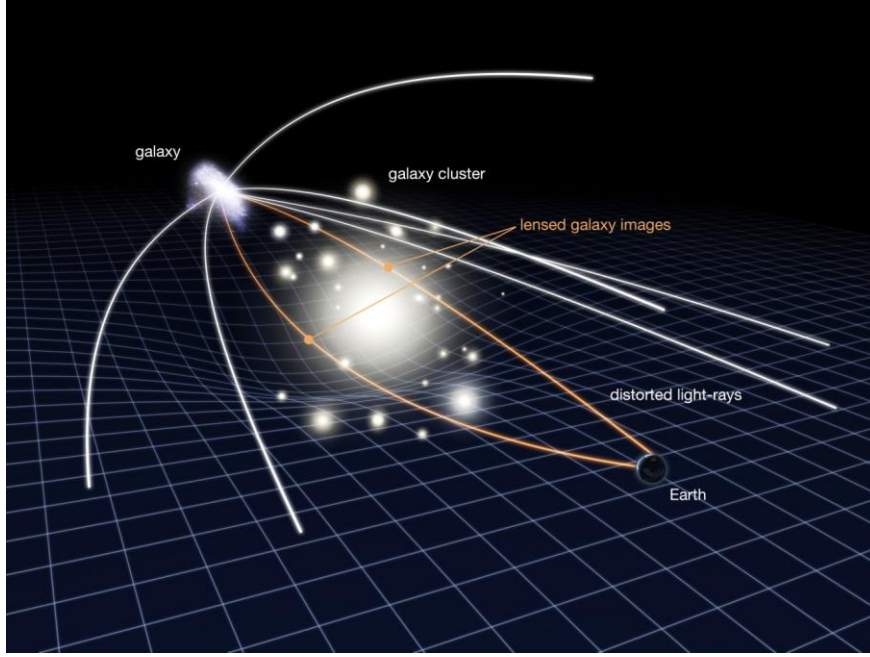
الخاصية لا تتأتى إلا باستخدام الممتدات (Clifford M. Will.,2011) وذلك لأن صياغة

معادلات القوانين بصيغة الممتدات تكون لها نفس الشكل والتركيبية لجميع نظم الاحداثيات، إن

فرضيات النظرية النسبية العامة تفسر الجاذبية بدلالة هندسة الزمكان فبعيداً جداً عن مصادر

الجاذبية كالنجوم والكواكب نجد إن الفراغ يكون مسطحاً، بينما بالقرب من مصدر الجاذبية يكون

المكان منحنياً كما في الشكل رقم (2-2).



الشكل رقم (2-2) يبين تقعر المكان بالقرب من المجال الجذبي القوي مما يسبب انحناء الشعاع الصادر عن المصدر وتكوين الصورة في موضع مغاير للمكان الحقيقي وهذا هو سبب ظهور حالات التعدس الجذبي القوي، والضعيف والدقيق (Wambsganss, 2001) , (Eddington A.,1987)

2-2-2 هندسة الزمكان:

إنّ هندسة ريمان، وتجربة مايكلسون ومورلي التي أثبتت أن سرعة الضوء ثابتة في الفراغ، كانتا الأساس في بناء آينشتاين لنظريته النسبية العامة، وما يعني الباحث في موضوع التعدس الجذبي من نظرية النسبية العامة هو المتصل الزمكاني (space-time) للكون، حيث يكون الزمان نسبياً والمكان منحنيًا وسرعة الضوء هي أكبر سرعة ممكنة (Roger J. Anderton, 2009)

وسبق ذكر تاييد الارصاد الفلكي لتنبأ آينشتاين، في الفصل الاول (فقد وافق نتائج الرصد الذي قام به Eddington وجماعته عام 1919 عندما قاسوا أثناء كسوف الشمس، قيمة زاوية انحناء شعاع الضوء القادم من النجوم القريبة من الشمس، وقارنوها بالقيمة التي تنبأ بها

آينشتاين حسب النسبية العامة فوجدوها 1.75 arcsec بفارق 30 % عن القيمة التي حسبها (Paraficz, 2010).

3-2 الزحزحة الحمراء:

تعرف الزحزحة الحمراء بأنها النسبة بين مقدار الزيادة في الطول الموجي إلى الطول الموجي red shift ويعبر عنها بالمعادلة:

$$Z = \frac{\lambda_{obs} - \lambda_{emit}}{\lambda_{emit}} \quad (17-2)$$

حيث ان z الزحزحة الحمراء . λ_{obs} طول الموجة المستلمة من قبل الراصد ، λ_{emit} طول الموجة المنبعثة الاصلية والزحزحة الحمراء يمكن تصنيفها إلى عدة أصناف هي:

(1) الزحزحة الحمراء الكونية (cosmological red shift) وهي ناتجة عن توسع الكون

(تباعد النجوم عن بعضها البعض وعن الراصد) (Bartelmann et al, 2001)

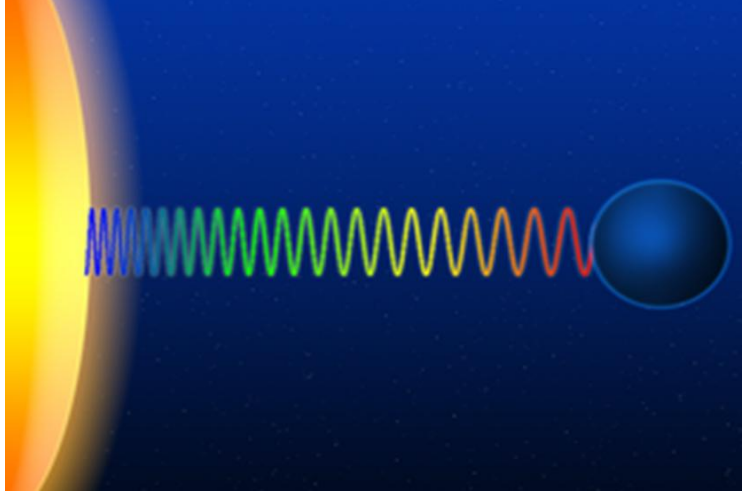
(2) الزحزحة الحمراء الناتجة عن تأثير دوبلر (Doppler effect) وهي ناتجة عن الحركة

النسبية بين المصدر والراصد وتكون الزحزحة نحو الاحمر إذا ابتعد المصدر عن الراصد، فان ظاهرة دبلر لم تكن مطبقة على الضوء قبل النظرية النسبية، ولكن اينشتاين أول (Parafiz, 2010) من طبقها على الضوء.

(3) الزحزحة الحمراء الجذبية (gravitational red shift) وهي ناتجة عن تغير شدة

المجال الجذبى بين موقعي المصدر والراصد، حيث انه بتأثير تغير شدة المجال الجذبى

يكون الطول الموجي المستلم مختلفا لاحظ الشكل (2-3).



الشكل (2-3) يوضح كيف أن الشعاع المنطلق من مجال جاذبي يقل تردده بالاتجاه بعيدا عن مركز الجاذبية

وحيث ان $c = \lambda f$ سرعة الضوء في الفراغ، والزيادة في الطول الموجي هو زحزحة نحو المنطقة الحمراء من الطيف وقد تم قياس هذا التأثير عمليا عام 1960 من قبل Roberd Pound و Glen Rebka وذلك باستخدام اشعة كاما، والزحزحة المقاسة كانت صغيرة، مقارنة مع الازاحات الناتجة من طيف النجوم عالية الكثافة، مثل نجوم الاقزام البيضاء، ويجب التمييز بين زحزحة الجاذبية الحمراء وزحزحة دوبلر الحمراء حيث ان الاخيرة تتطلب حركة عكس اتجاه المراقب.

وللثبات النظري للزحزحة الجاذبية الحمراء نجد ان الطاقة الكلية E لجسيم مثل الفوتون الذي تردده f_0 وكتلته m تعطى بالعلاقة التالية

$$E = mc^2 = hf_0 \text{-----} (18-2)$$

حيث c هي سرعة الضوء في الفراغ (Acosta , 2001) ومن العلاقة الاخيرة

(18-2) نجد ان طاقة الوضع لجسيم كتلته m من جسيم آخر كتلته M تحسب كالآتي:

$$U = -G \frac{Mm}{r} = -G \frac{Mh}{rc^2} f_0 \text{-----} (19-2)$$

حيث ان G ثابت التجاذب و r مسافة البعد عن مجال الجاذبية والآن عند هروب الفوتون

من مجال الجاذبية سوف يكتسب تردداً مختلفاً يعطى بالعلاقة التالية:

$$hf = hf_0 \left(1 - \frac{GM}{rc^2}\right) \quad (20-2)$$

$$f = f_0 - f_0 \frac{GM}{rc^2} \quad (21-2)$$

$$\frac{f - f_0}{f_0} = -\frac{GM}{rc^2} \quad (22-2)$$

حيث ان الزحزحة باتجاه التقليل من التردد وهي زحزحة الجاذبية الحمراء (هذا في حالة

الفوتون يترك مجال الجاذبية)، أما إذا سقط الضوء في مجال الجاذبية فإن الزحزحة تعطى

بالعلاقة التالية:

$$hf = hf_0 \left(1 + \frac{GM}{rc^2}\right) \quad (23-2)$$

$$f = f_0 + f_0 \frac{GM}{rc^2} \quad (24-2)$$

$$\frac{f - f_0}{f_0} = \frac{+GM}{rc^2} \quad (25-2)$$

(Bartel, 1985)

وبصورة عامة تكون العلاقة كما يلي:

$$hf = hf_0 \left(1 \pm \frac{GM}{rc^2}\right) \quad (26-2)$$

4-2 قياس الابعاد الكونية:

يوجد عدد من الطرق لقياس المسافات الكونية كما أوضحها Weinberg عام 1972

أهمها :

(1) طريقة السطوع الظاهري (apparent luminosity)

السطوع الظاهري هو السطوع المطلق لوحدة المساحة

$$I = \frac{L}{4\pi D^2} \quad (27-2)$$

(حيث ان I شدة السطوع الظاهري، L شدة السطوع المطلق، $4\pi D^2$ المساحة السطحية لكرة

نصف قطرها D مركزها الملاحظ (Observer))

إذن فمسافة السطوع تكون:

$$D_I = \sqrt{\frac{L}{4\pi I}} \quad \text{-----} \quad (28-2)$$

(2) طريقة مقارنة مسافة البعد الحقيقي للنجم مع مسافة البعد الزاوي المرصود في الفضاء

الافليدي:

إذا افترضنا أن d تمثل مدى التغير في موقع النجم من وجهة نظر الملاحظ،

D المسافة الحقيقية لبعد النجم عن الملاحظ. ولما كانت $\tan p = p$ عندما تكون p صغيرة،

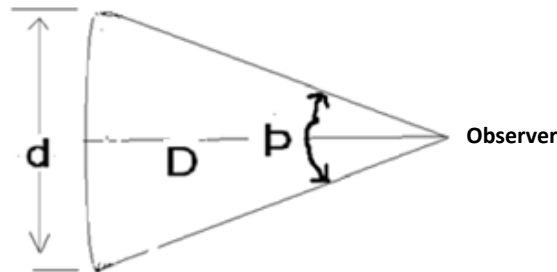
أي أن:

$$p = \frac{d}{D} \quad \text{-----} \quad (29-2)$$

إذن تكون مسافة القطر الزاوي:

$$D_A = \frac{d}{p} \quad \text{-----} \quad (30-2)$$

(4-2) أنظر الشكل (Gorenstein , etal 1988)



الشكل (4-2) يوضح إمكانية تخمين مسافة البعد الحقيقي للجسم السماوي من معرفة مسافة

البعد الزاوي المرصود في الفضاء الافليدي ومعرفة المسافة التخمينية لبعد الجسم عن الراصد

(3) **طريقة الحركة الحقيقية:** وذلك عن طريق ملاحظة مقدار زحزحة الجسم عن موقعه الأصلي في الفضاء، الناتجة عن الحركة الحقيقية للجسم المرصود بالنسبة للشمس.
(Sereno M. , 2008).

5-2 زمن التأخير:

إذا كان موقع المصدر متغير عند ذاك ستكون هذه التغيرات مرصودة في الصور ولا يشترط ان يظهر التغيير في الصور في وقت واحد، فقد يكون هناك تأخر في الزمن بين ظهور التغيير في الصورة الاولى وظهوره في الصورة الثانية وهناك سببين لهذا التأخير في الزمن أولهما يطلق عليه المركبة الهندسية لزمن التأخير، حيث ان المسافة إلى الصورة الاولى (في حالة وجود صورتين) تختلف عن المسافة إلى الصورة الثانية، فيمكن ايجاد الفرق في الزمن باستخدام علم المثلثات وأشتقاق زمن التأخير الهندسي، وثانيهما يطلق عليه المركبة الجذبية لزمن التأخير حيث أن الضوء خلال مروره عبر العدسة الجذبية يمر عبر أجزاء مختلفة من الجهد الجذبي للعدسة ،حيث ان اجزاء العدسة قد تكون متباينة من حيث الجهد الجذبي، وهذا ما يطلق عليه زمن تأخير شابيرو (Shapiro time delay) (Sereno,M, et al, 2008) ، وهذا القسم الجذبي لزمن التأخير يعتمد على الكثافة السطحية (وهي ليست واحدة في جميع نواحي العدسة)، فهي المصدر الرئيس لعدم التأكد في حسابات هذا القسم من زمن التأخير (Barkana, 1997)، ويمكن كتابة عموم زمن التأخير بالشكل الآتي:

$$\delta t = \frac{D_s D_L}{D_L s} \frac{1+z_L}{c} \left\{ + \frac{1}{2} (\theta - B)^2 - \varphi[\theta] \right\} \text{--- -- [31-2]}$$

ويجب ملاحظة ان $D_L \cdot D_s \cdot D_{LS}$ هي دوال معقدة لـ Z و H_0 و Ω_M و Ω_A حيث ان Z هي قيمة الزحزحة، و H_0 هو ثابت هابل، ρ_A كثافة المادة المعتمدة الكونية، و ρ_M كثافة المادة الكونية و ρ_{crit} الكثافة الحرجة اللازمة للتحدب الكوني، و $\Omega_A = \frac{\rho_A}{\rho_{crit}}$ هي نسبة كثافة المادة الكونية المعتمدة و $\Omega_M = \frac{\rho_M}{\rho_{crit}}$ نسبة كثافة المادة الكونية، (Petters, A.,etal, 2001).

كما في المعادلة (32-2):

$$D = \frac{c}{H_0 \sqrt{1 - \Omega_A \Omega_M}} \sin \int_{z_l}^{z_s} E[z] dz \quad [32-2]$$

وعلاوة على ذلك فإن العدسات ليست نقاطاً في أبسط حالاتها، فيمكن أن تكون اهليلجية، ولكن هذه المجرات منتظمة ضمن عنقود مجري، لذا فإن العدسات الجذبية الحقيقية تتضمن تأثيري المجرة والعنقود المجري الذي يتضمنها، وبالإمكان حساب زمن التأخير بالمراقبة، والرصد لصور التعدس، فإذا كان المصدر متغير فهذا التغير، سوف يلاحظ من منحنيات الضوء لكلا الصورتين في وقت مختلف، بإيجاد زاوية موضع الصورة θ والزحزحة الحمراء للعدسة والزحزحة الحمراء للمصدر، جميعها مطلوب في حسابات تأخر الزمن، حيث ان عامل الزحزحة الحمراء للعدسة واضح في المعادلة [28-2] ضمن الحد $1 + Z_l$ ، في حين ان الزحزحة الحمراء المصدر تتضمنه المسافة D_{os} ، أما حساب الزحزحة الحمراء للعدسة الجذبية فتتم بحساب الفروقات الصغيرة للاضاءة بين الصور ومقارنة لمعان العدسة الجذبية مع لمعان المصدر، في حين يتعذر تحديدها بالارصادات الفلكية، في عام 1964 يعد Refsdal أول من أثبت وجود أختلاف في زمن وصول الموجة الضوئية من المصدر إلى الراصد نتيجة لاختلاف المسارات التي ينتقل فيها الضوء في العدسات الجذبية، فعندما تنتقل الفوتونات القادمة من مصدر بعيد إلى الراصد سوف تكون معرضة لتأثير المجال الجذبي للعدسات الواقعة على

طول خط الرؤية، فوجود هذه العدسات سيؤدي إلى تحذب مسار الفوتونات ويصبح أطول من مسارها الاعتيادي، وبذلك ستأخذ الفوتونات زمناً أطول عند انتقالها من المصدر، من تلك التي تأخذ المسار غير المنحني (Paraficz, 2010)، الاختلاف الهندسي في المسارين (المنحني وغير المنحني) ينتج تأخراً في زمن وصول الفوتونات المنحنية في سيرها عن غير المنحنية إلى الراصد ويسمى هذا التأخر بزمن التأخير الهندسي geometrical time delay ، كما أن المرور على مقربة من المجال الجذبى للعدسة يسبب زمن التأخير الجذبى، في حين أن المجال الجذبى للعدسة سيجعل الضوء يتأخر في الوصول تأخير ثانٍ (Courbin, 2003)، بحثه Shapiro في عام 1964 ويعبر عن زمن التأخير الكلي بالمعادلة:

$$\left[\frac{1}{2} (\theta - B)^2 - \psi(\theta) \right] = t(\theta)_{total} = (t_{geom} + t_{grav}) = \frac{(1+Z_L)D_{os}D_{ol}}{CD_{LS}} \quad (2-33)$$

يمثل الحد الأول زمن التأخير الهندسي والحد الثاني يمثل زمن التأخير الجذبى و Z_L الزحزحة الحمراء للعدسة ، θ و B الموقع الزاوي لكل من الصورة والمصدر على التوالي، D_{LS} مسافة القطر الزاوي بين العدسة والمصدر، D_{ol} مسافة القطر الزاوي بين المراقب والعدسة، D_{os} مسافة القطر الزاوي بين الراصد والمصدر، $(1 + Z_L)$ معامل توسع الكون (Burud et al, 2000) وبتطبيق مبدأ فيرمات في البصريات الهندسية (ينتقل الشعاع الضوئي بين نقطتين خلال أقل زمن ممكن) على العدسات الجذبية:

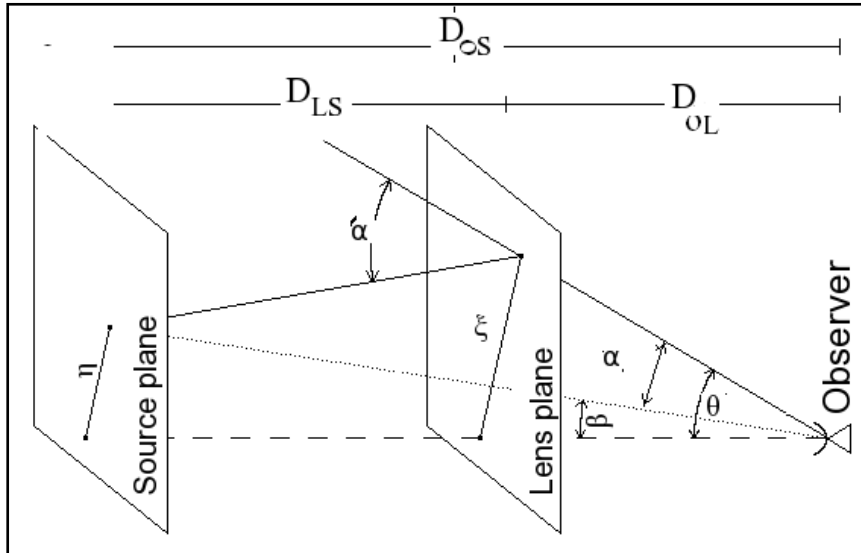
$$\nabla_{\theta} T(\theta) = 0 \quad (2-34)$$

نلاحظ الفرق في زمن انتقال الضوء بين نقطتين في العدسات الجذبية عن العدسات البصرية، يتمثل في كونه يتكون من حدين الأول هندسي إذ يعتمد على الأبعاد الهندسية مثل بعد الصورة وبعد المصدر أما الحد الثاني فهو جذبى.

6-2 الانحناء الجذبي وتكوين العدسات الجذبية:

تستند نظرية التعدس الجذبي على انه عند وقوع جسم ذي كتلة كبيرة على الخط الواصل بين مصدر اشعة كهرومغناطيسية بعيد وراصد، فإن المجال الجذبي لذلك الجسم يؤدي إلى انحناء مسار الضوء عن مساره الاصلي بزاوية (α) تتناسب مع شدة ذلك المجال مكونة صورة المصدر وهذا ما يعرف بالتعدس الجذبي والكتلة الكبيرة المسببة للانحناء تسمى العدسة الجذبية gravitational lens لكونها مشابهة في سلوكها للعدسة البصرية التي تحني الضوء المار من خلالها، فعليه تكون مكونات منظومة العدسة الجذبية هي مصدر بعيد وعدسة وراصد كما في الشكل (5-2) بأفتراض ان الخط الواصل بين الراصد والعدسة يمثل المحور الأساس للعدسة، فيكون الموقع الحقيقي للمصدر B وموقع الصورة θ و α هي الفرق بين B و θ فتكون المعادلة العامة للعدسات الجذبية:

$$B = \theta - \alpha \quad (35-2)$$



الشكل (5-2) يظهر فيه مكونات منظومة العدسة الجذبية (الخط الواصل بين الراصد والعدسة يمثل المحور الاساسي للعدسة)

7-2 نماذج وتقريبات العدسات الجذبية:

بما ان المبدأ الفيزيائي الأساس الذي تستند عليه نظرية العدسات الجذبية هو انحناء الضوء الناتج عن وجود كتلة يؤدي إلى تحذب الفضاء المحيط بها، وبالتالي سير الضوء في زمان محدب ، فإنه يمكننا عدّ العدسات الجذبية ناتجة عن الانتشار غير المتجانس للكتلة في الكون والذي يعبر عنه هندسيا بأنه تشوه في المتصل الزمكاني للسطح، وبما ان المسافة التي ينتقل بها الضوء يجب ان لاتقل عن ثلاثة اضعاف قطر العدسة (Robert , 2000) فإن المسافة التي سيحصل فيها الانحناء صغيرة جدا مقارنة مع المسار الكلي الذي يقطعه الضوء للوصول إلى الراصد لذا بإمكاننا افتراض أن الضوء ينتقل من المصدر إلى العدسة في مسار غير مشوه أي (زمان مسطح)، وينحني عند مروره بالقرب من العدسة نتيجة لوجود كتلتها ليعود مرة اخرى للسير في زمان مسطح عند انتقاله من العدسة إلى الراصد (Seren,2008)، وتكون نماذج وتقريبات العدسات الجذبية متعددة بحسب وصف انتشار الكتلة في الاجرام الكونية التي تعمل بوصفها عدسات جذبية مثل (النجوم، المجرات، العناقيد المجرية والـ MACHo الاجسام المضغوطة) وتنقسم هذه النماذج إلى قسمين:

7-2-1 نماذج العدسات المتناظرة دائريا:

وهي النماذج الاكثر شيوعا وتتضمن:

- (1) نموذج الكتلة النقطية (التقريب النقطي) **point mass lens** هو النموذج الاول لوصف العدسات الجذبية، حيث أعتمده Chwolson عام 1924 و اعتمده Einstein عام 1936 و كذلك Refsdal عام 1964 والذي يُعدُّ من مؤسسي نظرية العدسات الجذبية، واستخدم هذا النموذج (Asada, 2009) لمعرفة عدد الصور الناتجة عن خمس عدسات جذبية، وتعد العدسة النقطية

من ابسط أنواع العدسات الجذبية، لأنها تتصرف كما لو ان كل الكتلة الجذبية المولدة للمجال تتركز في مركز العدسة، وهذا يعني أن لدينا عدسة تمر الاشعة قريبا منها ولا تتخللها ولذلك فإن هذا النموذج مناسب لحساب الانحناء الناتج عن النجوم المفردة والثقوب السوداء (Mukherjee, 2005)، وتكون المعاملات الأكثر تأثيرا فيها هي كتلة العدسة ونصف قطرها وتحسب زاوية الانحناء الناتجة عن نموذج العدسة النقطية وفق معادلة Einstein عام 1916 أما معادلة زاوية الانحناء المنخفضة (وهي الفرق الزاوي بين الموقع الزاوي الحقيقي للمصدر والموقع الزاوي للصورة) لهذا النوع من العدسات فهي:

$$\alpha = \frac{DLS}{D_{os}D_{oL}} \frac{4GM}{\theta C^2} \quad \text{-----} [36-2]$$

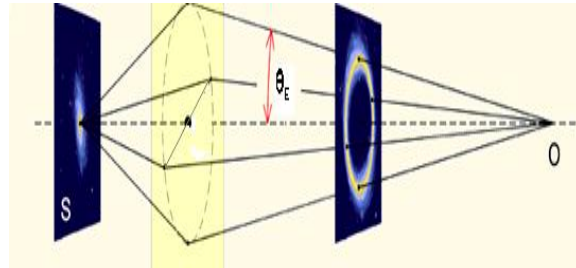
وتتكون في هذه العدسة صورتان واحدة منهما معتدلة والثانية مقلوبة ويتحدد موقعها (Narayan&Bartelman, 1997) حسب العلاقة:

$$\theta_{\pm} = \frac{1}{2} \left(\frac{B \pm \sqrt{B^2 + 4\theta_E^2}}{1} \right) \quad \text{-----} (37-2)$$

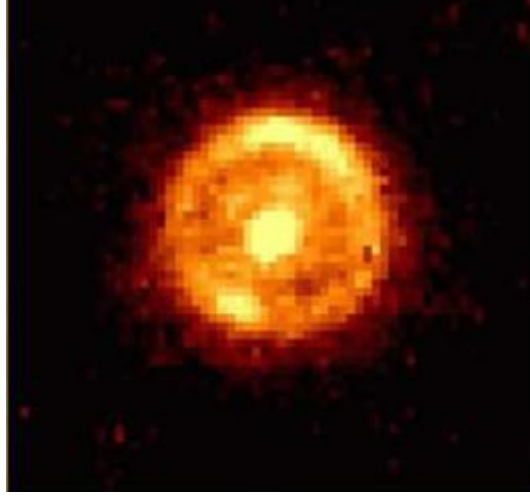
وعند وقوع المصدر والعدسة والراصد على المحور البصري تتكون بدلا من هاتين الصورتين حلقة محيطة بالعدسة ذات نصف قطر زاوي

$$\theta_E = \sqrt{\frac{4GMDLs}{D_{os}D_{oL}C^2}} \quad \text{-----} (38-2) :$$

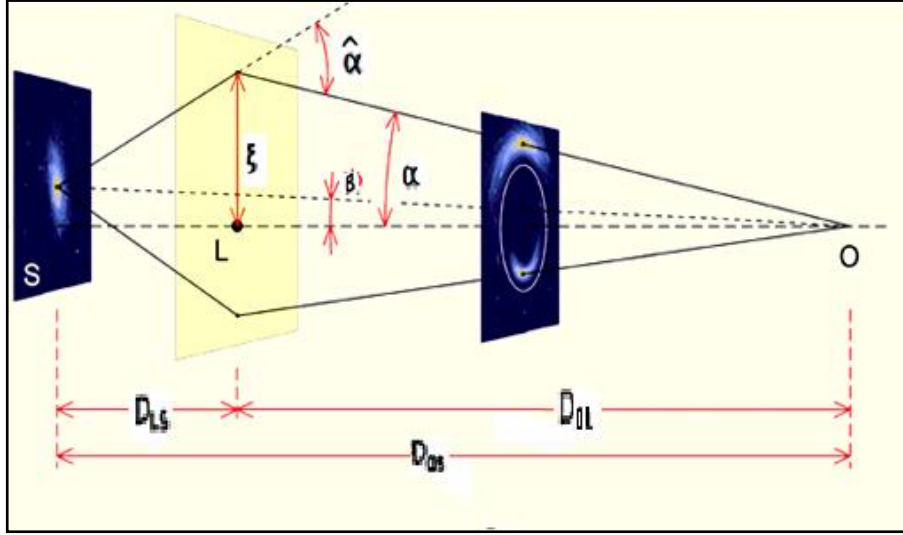
وتسمى حلقة آينشتاين (Mukherjee, 2005). أنظر الشكل (6-2) والشكل (7-2)



الشكل (6-2) يوضح المصدر والعدسة والمراقب على المحور البصري وتظهر حلقة آينشتاين صورة المصدر على شكل حلقة وعندما تكون θ هي θ_E و $B=0$



الشكل (7-2) يظهر فيه حلقة آينشتاين للعدسة الجاذبية JVAS1938+666 وعلى الأقل إحدى هذه الصور تكون مكبرة أنظر الشكل (8-2).



الشكل (8-2) يوضح تكوين صورتين مشوهتين للمصدر عندما $\beta \neq 0$

كما ان شدة الفيض الضوئي لصورة المصدر يتغير تبعا لتغير نسبة زاوية الصورة إلى زاوية المصدر، بمعنى آخر أن العدسة تركز الضوء، ويمكننا وصف تكبير الصورة بالمعادلة الآتية:

$$\mu = \left| \frac{\theta \delta \theta}{B \delta B} \right| \text{-----} [39-2]$$

(Narayan A. Bartelmann, M. et al., 1995)

(2) تقريب العدسة الرقيقة ذات الكثافة السطحية المتجانسة: يُعدُّ تقريب العدسة الرقيقة النموذج الأساس لمعرفة مدى انتشار الكتلة في العدسة بوصفه دالة لنصف القطر، فعندما تكون العدسة مجرة أو عنقوداً مجرياً فإن مقارنة المسافة الفاصلة بين المصدر والراصد التي هي حوالي 10^9 فرسخ فلكي (PC)، مع قطر المجرة (سمكها) الذي هو حوالي 50×10^3 فرسخ فلكي، يُمكننا من عدّ ان هذا السُمك يساوي صفراً، لذا يمكن عد العدسة صفيحة كتلوية رقيقة، وفي هذه الحالة تسمى العدسة بالعدسة الرقيقة (thin lens) (Linder, E, 2004)، يتيح لنا هذا التقريب التعامل مع الاشعة التي تمر من أية نقطة من مستوى العدسة وكأننا نتعامل مع عدسة شفافة، وستكون زاوية انحناء الاشعة بفعل المجال الجذبي دالة لبعد موقع مرور الاشعة عن مركز العدسة ξ ومجموعة الكتل المنتشرة من مركز العدسة إلى نقطة الانحناء (Mukherjee, 2005)، وإذا كانت العدسة متكونة من مجموعة كتل متميزة منتشرة على وفق دالة معينة فإن زاوية التعدس الجذبي ستكون:

$$\bar{\alpha}(\xi) = \sum_i \frac{4GM_i}{c^2} \frac{\xi - \xi_i}{|\xi - \xi_i|} \text{----- (40-2)}$$

حيث ξ_i (يمثل بعد التأثير) عند كل كتلة M_i اما إذا كانت العدسة منتشرة غير متميزة فيتم استخدام تكامل دالة الانتشار للمساحة المؤثرة بدلا من الجمع ويعبر عن كتلة العدسة بدلالة الكثافة الكتلية السطحية للعدسة Σ :

$$M(\xi) = 2\pi \int_0^\xi \Sigma(\xi') \xi' d\xi' \text{----- (41-2)}$$

حيث الكتلة هي $M(\xi)$ في دائرة نصف قطرها ξ وستكون زاوية التعدس

(Frittelli, S.,etal ,1998)

$$\vec{\alpha}(\xi) = \frac{4GM}{c^2} \int \frac{(\vec{\xi} - \vec{\xi}') \Sigma(\xi')}{|\vec{\xi} - \vec{\xi}'|^2} d^2\xi' \quad (42-2)$$

حيث ان $(\xi - \xi')$ هي المسافة من نقطة الانحناء إلى مركز العدسة ومعادلة زاوية الانحناء المنخفضة للعدسة الرقيقة ستكون بدلالة كثافة الكتلة السطحية للعدسة Σ والكثافة الحرجة Σ_{crit} (Wambsganss, 2001):

$$\alpha = \frac{\Sigma}{\Sigma_{crit}} \theta \quad [43-2]$$

ويكون القطر الزاوي لحلقة آينشتاين لهذا النوع من العدسات

$$\theta_E = \sqrt{\frac{M(\xi)}{\pi \Sigma_{crit} D_{OL}^2}} \quad (44-2)$$

(3) نموذج الكرة المتماثلة حرارياً Singular Isothermal Sphere

هو أبسط نموذج مناسب لوصف انتشار الكتلة في المجرات وبخاصة المجرات الحلزونية (spiral galaxies)، (Wambsganss, 2001)، ويقوم على افتراض أن مكونات المجرة من نجوم ومكونات كتلية أخرى، تسلك سلوك جزيئات الغاز المثالي. ويكون انتشار هذه الجسيمات عند درجة حرارة واحدة أي بسرعات متساوية فيعبر عن زاوية التعدس الجذبي في هذا النموذج بدلالة سرعة الانتشار (σ_v) . (Wambsganss et al, 1997)

$$\vec{\alpha} = 4\pi \frac{\sigma_v^2}{c^2} \quad (45-2)$$

ويلاحظ من المعادلة (45-2) أعلاه أن زاوية التعدس الجذبي لاتعتمد على بعد التأثير (ξ) أما زاوية الانحناء المنخفضة فستكون:

$$\alpha = 4 \pi \frac{\sigma_v}{c^2} \frac{D_{LS}}{D_{OS}} \quad (46-2)$$

كما في الشكل (8-2) وستكون قيمة القطر الزاوي لحقطة آينشتاين مساوية لزاوية الانحناء المنخفضة:

$$\theta_E = \alpha = 4 \pi \frac{\sigma_y}{c^2} \frac{D_{LS}}{D_{OS}} \quad (47-2)$$

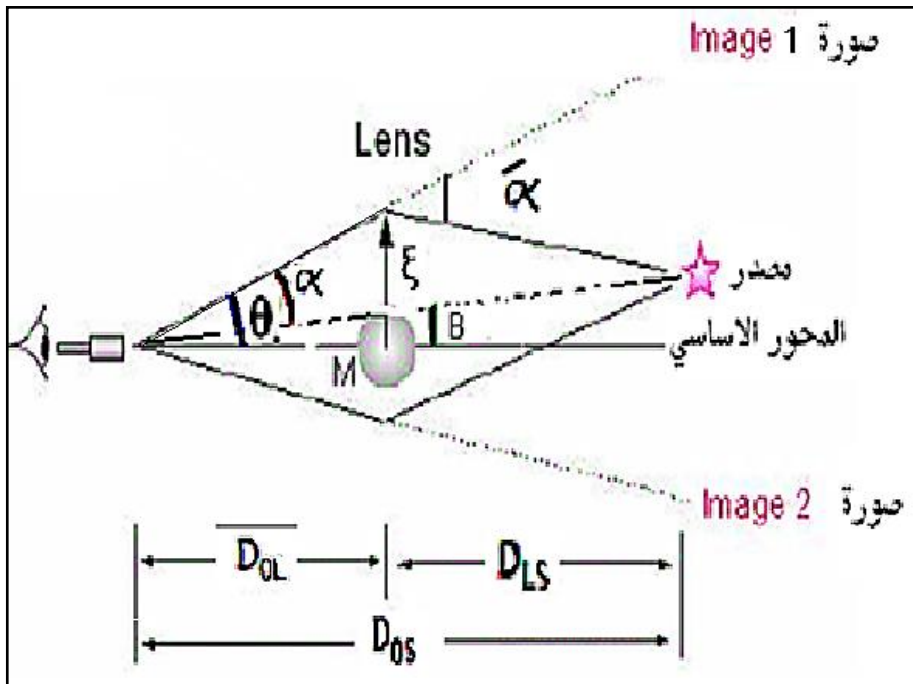
الصور المتكونة في هذا النموذج هي من 1 إلى 3 عندما يكون المصدر داخل حلقة آينشتاين ($B < \theta_E$) أنظر الشكل (7-2):

$$\theta_{\pm} = B \pm \theta_E \quad (48-2)$$

(Blandford & Narayan, 1992)

أما إذا وقع المصدر خارج الحلقة ($B > \theta_E$) فستكون صورة واحدة:

$$\theta = \theta_+ = B \pm \theta_E \quad (49-2)$$



الشكل (9-2) يبين تكون صورتين لمصدر (جسم سماوي) عن عدسة جاذبية

2-7-2 العدسة غير المتناظرة دائرياً

(Non-Circularly-Symmetric lens Models)

نموذج العدسات البيضوية (Elliptical Galaxy Model)

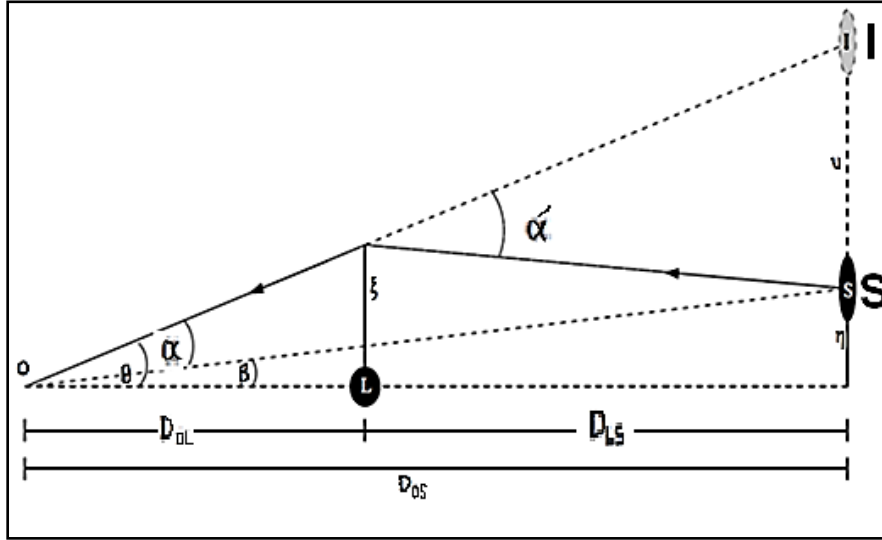
تُعدُّ نماذج العدسات المتناظرة دائرياً نماذج (غير واقعية ومثالية) ولا تصف انتشار الكتلة الحقيقي في المجرات والعناقيد المجرية، في حين كان نموذج العدسات البيضوية واصفاً لانتشار الكتلة في المجرات الاهليلجية والعناقيد المجرية (Bak et al 2000)، وهناك نماذج عديدة أخرى تم تطويرها مع زيادة تطبيقات الانحناء الجذبي.



الشكل (10-2) يوضح مجرة (عدسة جذبية بيضوية)

8-2 معادلات العدسات الجذبية النقطية:

يمكن تمثيل التعدس الجذبي بالعلاقات الهندسية الآتية، حيث ان هناك مصدر نقطي S ومراقب O وصورة المصدر I وزاوية التعدس α وزاوية الانحناء المنخفضة α وزاوية المصدر عن المحور البصري B وزاوية الصورة عن المحور البصري θ وكما في الشكل (11-2)



الشكل (11-2) يوضح الابعاد الهندسية للعدسة الجذبية (Narayan&Bartelman,1997)

في الشكل (11-2) يكون:

$$\theta D_{os} = \xi D_{os} + \alpha D_{Ls} \quad \text{-----} (50-2)$$

وبالتعويض عن $\theta = \frac{\xi}{DOL}$ في المعادلة (50-2) نجد ان (anguita, 2009)

$$\eta = \frac{D_{os}}{D_{OL}} \xi - D_{Ls} \alpha \quad \text{-----} (51-2)$$

وحيث ان $\alpha = D_{os} \eta$ وان $\eta = B D_{os}$ وبدلالة الزاوية θ يكون:

$$B = \theta - \frac{D_{Ls}}{D_{os}} \alpha \quad \text{-----} (52-2)$$

فتكون معادلة العدسة:

$$B = \theta - \alpha \quad \text{-----} (53-2)$$

وهذه المعادلة تربط صورة المصدر بالموقع الحقيقي للمصدر وهي معادلة لاختية ولذلك يمكن ان يكون لها عدة حلول وعدد هذه الحلول يساوي عدد الصور المضاعفة للمصدر.

9-2 جهد العدسة الجذبية lens potential :

في حالة العدسة النقطية عندما يكون نصف قطر شوارزجايلد Schwarzschild radius

اقل بكثير من بعد التأثير $\xi \leftarrow \xi \ll \frac{2GM}{c^2}$ تسمى العدسة الجذبية عدسة شوارزجايلد، وباستعمال

معادلة آينشتاين في التعدس الجذبي:

$$\alpha = \frac{4MG}{c^2 \xi} \quad (12-2)$$

وحيث ان $\xi = D_{OL} \times \theta$

والتعويض عن المعادلة (12-2) في المعادلة (52-2) يمكن الحصول على:

$$B = \theta - \frac{4GM D_{LS}}{\xi^2 D_{OS}} \quad (54 a - 2)$$

وحيث أن: $\xi = D_{OL} \times \theta$

فيكون:

$$\beta = \theta - \frac{4GM D_{LS}}{\theta C^2 D_{OS} D_{OL}} \quad (54 b - 2)$$

$$B = \theta - \frac{4GM D_{LS}}{\theta C^2 D_{OS} D_{OL}} \quad (54-2)$$

ومن المعادلة (53-2) نجد أن:

$$\alpha = \frac{4GM D_{LS}}{\xi C^2 D_{OS}} \quad (55-2)$$

وحيث ان $B=0$ عندما يكون المصدر والعدسة على خط واحد يمكننا الحصول على الزاوية الحرجة المسماة زاوية حلقة آينشتاين.

فبالتعويض عن قيمة B في المعادلة (54b-2) يكون:

$$0 = \theta - \frac{4GM D_{LS}}{\theta C^2 D_{OS} D_{OL}}$$

أو أن:

$$\theta^2 = \frac{4GM D_{LS}}{C^2 D_{OS} D_{OL}}$$

إذن زاوية حلقة آينشتاين تكون:

$$\theta_E = \sqrt{\frac{4GM D_{LS}}{C^2 D_{OS} D_{OL}}} \quad (56-2)$$

ويقابل هذه الزاوية نصف قطر حلقة آينشتاين الزاوي:

$$R_E = \theta \times D_{OL} = \sqrt{\frac{4GM D_{LS} D_{OS}}{D_{OL} C^2}} \quad (57-2)$$

وهذه الخاصية بالنسبة لمستوي المصدر يمكنها ان تأخذ الصيغة التالية:

$$\sqrt{\frac{4GM D_{LS} D_{OS}}{D_{OL} C^2}} = D_{OS} \times \theta_E = R_{ES} \quad (58-2)$$

وباستعمال زاوية آينشتاين يمكن إعادة كتابة المعادلة (55-2) وكما يلي:

$$\theta^2 - \theta B - \theta_E^2 = 0 \quad (59-2)$$

وحل هذه المعادلة كالآتي:

$$\theta_{\pm} = \frac{1}{2} \left(B \pm \sqrt{B^2 + 4\theta_E^2} \right) \quad (60-2)$$

وهذه الحلول تعطي مواقع صورتَي المصدر متقابلتان تبعدان نفس المسافة عن المحور البصري، وعندما تكون $\theta_E \gg B$ لا يكون هناك انحناء في الأشعة حيث يتطابق موقع المصدر مع موقع الصورة اما عندما تكون $B=0$ يكون هناك حل واحد للمعادلة حيث تتشوه صورة المصدر حلقة حول العدسة في مستوي الصورة.

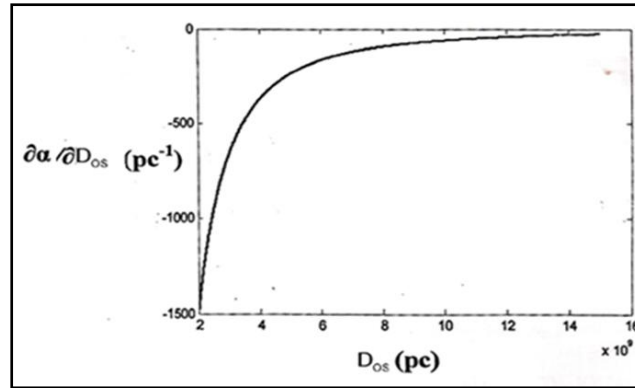
10-2 دراسة تأثير الابعاد الهندسية في العدسة النقطية:

(1) تأثير بعد المصدر D_{os} في موقع الصورة

الحالة الأولى عندما يكون D_{LS} ثابتا وهذا يعني ضمنا ان D_{OL} متغيرة فبأخذ تفاضل زاوية الانحناء المنخفضة α بالنسبة لبعد المصدر في المعادلة (2-55) نحصل على:

$$\frac{\partial \alpha}{\partial D_{os}} = - \frac{4GM D_{LS}}{D_{os}^2 \xi C^2} \quad (2-61) \quad \text{-----}$$

يتضح من المعادلة (2-61) ان تأثير بعد المصدر تتضائل كلما زاد البعد عن المصدر، ويكون اتجاه تفاضل زاوية الانحناء المنخفضة α معاكسا لاتجاه البعد عن المصدر (الإشارة السالبة) وهذا يعني أن بعد المصدر يفقد تأثيره في بعد الصورة عندما يقترب من المالا نهاية كما هو موضح في الرسم البياني للمعادلة (2-61) انظر الشكل (2-12).



الشكل (2-12) يوضح علاقة الداله بين بعد المصدر وتفاضل زاوية الانحناء المنخفضة بالنسبة لـ D_{os} (وبتبوت المسافة بين المصدر والعدسة الجذبية) [Refsdl and Surdej,1994]

الحالة الثانية : بما أن مسار الضوء من المصدر إلى الراصد يكون ضمن فضاء مسطح (بإستثناء مساره قرب العدسة الذي يكون محدباً ولكنه قصير جداً مقارنة بالمسار الكلي) فإنه بالإمكان تعويض ($D_{LS} = D_{OS} - D_{OL}$) في المعادلة (2-55) نحصل على :

$$\alpha = -\frac{4GM}{\xi C^2} \left(1 - \frac{D_{OL}}{D_{OS}}\right) \text{ ----- [62-2]}$$

والتي يتضح منها انه عندما تكون ($D_{OL} \ll D_{OS}$) ترى صورة واحدة يحدد موقعها مقداري الكتلة وبعد التأثير، وتكون زاوية الانحناء المنخفضة مساوية لزاوية الانحناء وتساوي تقريباً θ وذلك لانه في الابعاد الكبيرة للمصدر مقارنة ببعد العدسة تقترب $B \cong 0$ وهي تساوي مربع حلقة أينشتاين وهذا يعني الحصول على صورة واحدة على شكل حلقة تحيط بالعدسة عند موقع الانحناء، ولكنها ذات نصف قطر كبير جداً وهذا يبدو واضحاً بعد دراسة (Gavazzi et al, 2001) واكتشافه حلقتين متحدتي المركز أسمى الاولى حلقة أينشتاين الكبيرة وهي المذكورة بالمعادلة [62-2]-- والآخرى أسماها حلقة أينشتاين الصغيرة .

(2) تأثير البعد بين العدسة والراصد (D_{OL}) في بعد الصورة (α)

لمعرفة ذلك نأخذ تفاضل المعادلة [55-2]-- بالنسبة إلى D_{OL}

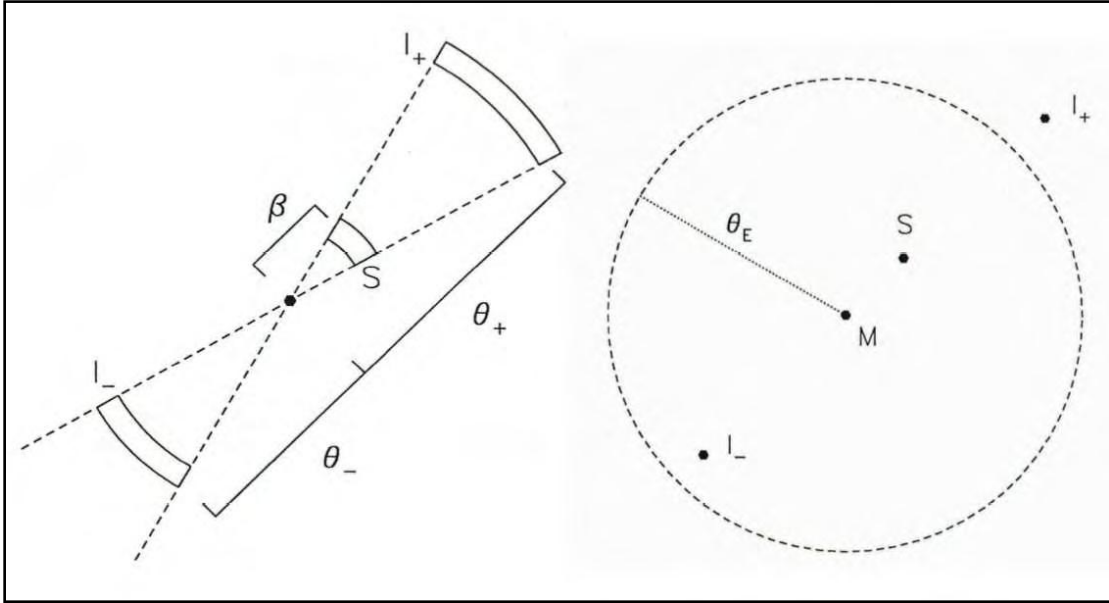
$$\frac{\partial \alpha}{\partial D_{OL}} = -\frac{4GM}{\xi C^2} \frac{1}{D_{OS}} \text{ ----- (63-2)}$$

نلاحظ انه عند ثبوت (D_{OS}) فإن تأثير بعد العدسة عن الراصد مماثل لتأثير بعد العدسة عن المصدر (D_{LS})، أما عدم تغير تأثير بعد العدسة عن المصدر (D_{LS}) وبعد العدسة عن الراصد (D_{OL}) فيمكن تفسيره على أن تغير موقع المصدر بالنسبة للعدسة لا يحدث تغييراً بزاوية الانحناء، لأن الشعاع الساقط يكون عمودياً على مستوى العدسة فلا يعاني أنكساراً

ولا يغير من زاوية الانحناء، ومن هذا يمكن القول، أن تأثير بعد المصدر عن الراصد هو المسيطر في تغير موقع الصورة (α) عن المصدر.

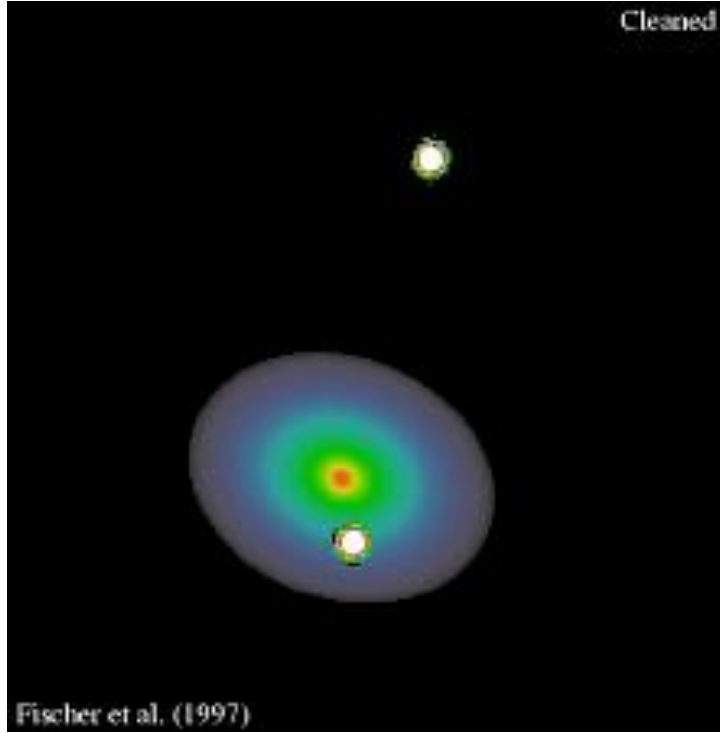
(3) تأثير شكل وكتلة العدسة:

المعني بشكل العدسة هو الابعاد المختلفة بين حافات العدسة ومركزها في جميع الاتجاهات حيث تختلف زوايا الانحناء فعندما يكون الشكل كرويا نحصل على صورتين أحدهما باتجاه بعد المصدر عن المحور البصري والآخرى بالاتجاه المعاكس كما في الشكل [13-2].



الشكل [13-2] يوضح عندما يكون شكل العدسة الجذبية كرويا نحصل على صورتين أحدهما باتجاه بعد المصدر عن المحور البصري والآخرى بالاتجاه المعاكس.

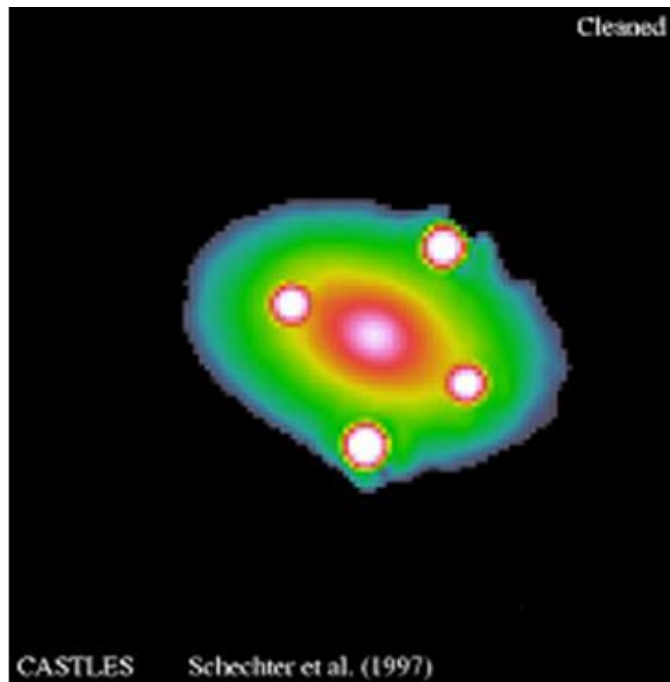
وكما مبين في الشكل [14-2]



الشكل [14-2] يبين صورتين لمصدر عبر عدسة جاذبية كروية مأخوذة بتلسكوب هابل
(Fischer et al,1997)

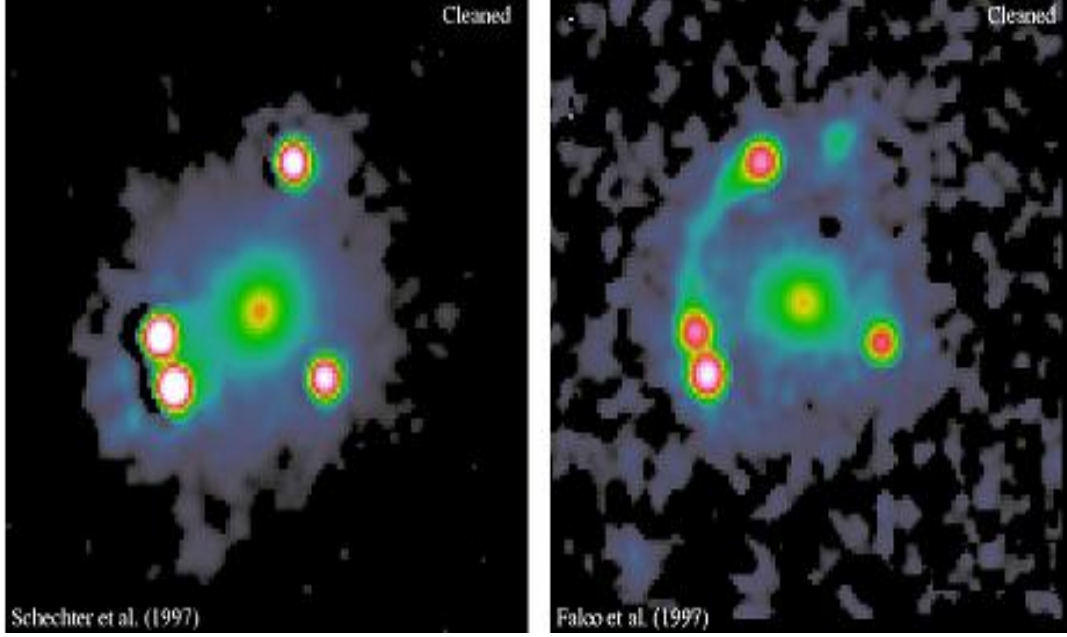
أما إذا كان شكل العدسة بيضوياً فنحصل على أربعة صور تقع على أطراف أقطارها

وهذا موضح في الشكل (15-2).



الشكل (15-2) يوضح العدسة الجاذبية البيضوية (الصور مأخوذة بتلسكوب هابل)
(Schechter et al,1997)

فعندما يكون الراصد والعدسة والمصدر على خط مستقيم واحد تكون الصورة الناتجة عن عدسة كروية على شكل حلقة دائرية، أما إذا كانت العدسة ببيضوية الشكل فصورتها الناتجة متمثلة في أربعة صور، في حين انه في حالة العدسة غير المنتظمة الشكل فأن صورها متمثلة بصور مبعثرة كما في الشكل (2-16).



الشكل (2-16) يمثل صور مبعثرة للمصدر غير عدسة جاذبية غير منتظمة (Schechter et al,1997)

(4) تأثير بعد التأثير (impact parameter) في بعد الصورة عن المصدر:

لبعد التأثير (ξ) تأثير في موقع الصورة حيث يؤثر مباشرة في زاوية الانحناء الجذبي كما هو ملحوظ في (المعادلة -- 2-55) ولدراسة ذلك نأخذ تفاضل بعد الصورة α بالنسبة لبعد التأثير (المعادلة -- 2-55) فنحصل على [2-64].

$$\frac{\partial \alpha}{\partial \xi} = - \frac{4GMD_{Ls}}{\xi^2 D_{os} C^2} \frac{\partial \alpha}{\partial \xi} \text{ -----[64-2]}$$

ف نجد ان شدة تأثير ξ (بعد التأثير) مماثل لتأثير بعد المصدر (D_{os}) غير أن مدى تأثيره قصير مقارنة بالابعاد الهندسية حيث انه لا يمكن لبعد التأثير أن يأخذ مقادير كبيرة كالتى يأخذها بعد المصدر لانه سوف لا يحدث انحناء قابلاً للرصد عند المديات البعيدة، ولذلك فإن تماثل تأثيره مع تأثير المصدر شكلياً فقط.

11-2 تأثيرات كتلة العدسة في موقع الصور:

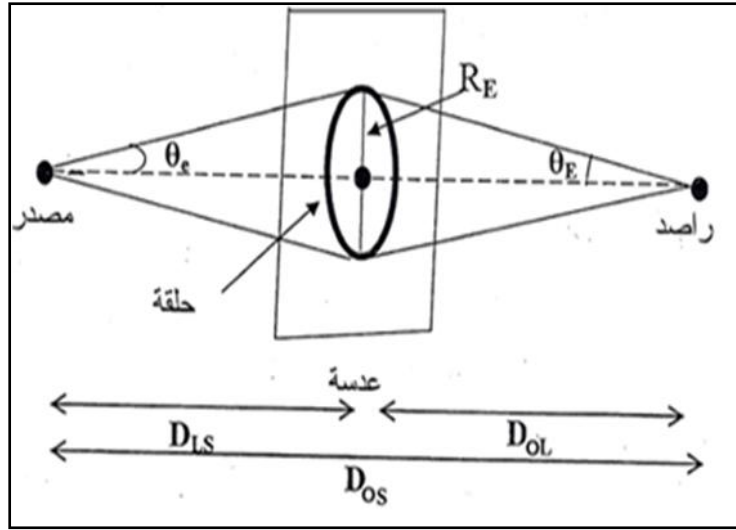
من المعادلة (2 - 12) نجد ان زيادة الكتلة تؤدي إلى زيادة زاوية الانحناء، كما أن الكتل الكبيرة تؤثر في الأشعة البعيدة نسبياً عن سطح الكتلة، وهذا يمنح أمكانية أكبر لتشكيل الصور، في حين يقتصر تأثير الكتلة الصغيرة على الأشعة المارة قريباً من سطح الكتلة لأنها عند هذه الابعاد فقط ستحدث تغيراً ملحوظاً في المسار، كما أن الكتل الصغيرة لاتحدث انحناء كبيراً يؤدي إلى تكوين عدد من الصور إلا أنه تحدث تشوهات في الصورة ناجمة عن الانحناء الصغير، لذا يكمن تأثير كتلة العدسة في تأثيرها المباشر على زاوية الانحناء، وبالتالي ستؤثر في موقع الصور ومقدار تمييزها خلال الارصادات، فمثلاً إذا كانت العدسة نجماً فالصور تكون مفصولة بزاوية (10^{-6}) ثانية قوسية $arcsec$ ، أما إذا كانت مجرة فستكون الفاصلة بحدود (10-1) ثانية قوسية بينما فاصلة عدسة العنقود المجري تكون بحدود (10-30) ثانية قوسية.

12-2 نصف قطر حلقة آينشتاين:

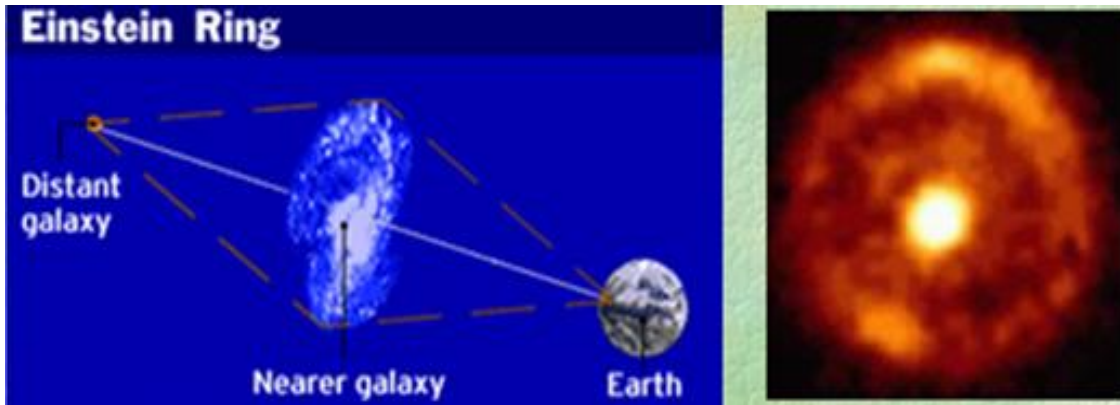
يعد نصف قطر آينشتاين خاصية من خواص العدسة إذ ان لكل عدسة نصف قطر آينشتاين خاص بها ،يعتمد مقداره على كتلة العدسة وأبعادها الهندسية .فاذا كانت العدسة متناظرة فمن معادلة العدسات بدلالة الابعاد الهندسية.

$$B = \theta - \frac{4GM(\theta)D_{LS}}{D_{OL}D_{OS}C^2\theta} \quad (64-2)$$

اما إذا كان المصدر واقعا على المحور البصري أي أن ($B=0$) فالراصد والعدسة والمصدر على خط مستقيم، عند ذاك تكون الصورة على شكل حلقة دائرية ذات نصف قطر زاوي (θ_E) لاحظ المعادلة (56-2) والشكل [17-2].



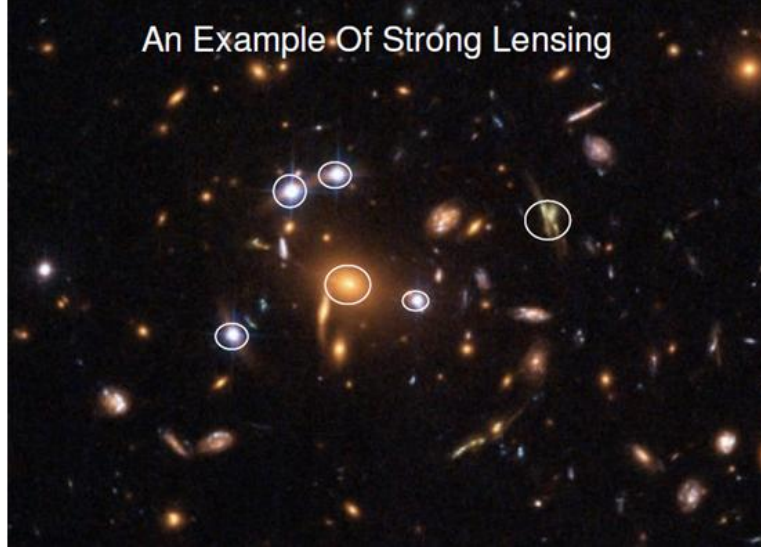
الشكل (17-2) توضيح تكون الصورة على شكل حلقة دائرية ذات نصف قطر زاوي θ_E وتسمى بحلقة آينشتاين



الشكل (2-18) الشق الايمن صورة مأخوذة من تلسكوب هابل والشق الايسر رسم توضيحي للمجرة (القريبة بالقياسات الفلكية) من الراصد (ممثلة عدسة جاذبية) وتسمى بحلقة آينشتاين ويسمى نصف القطر الزاوي لهذه الحلقة بنصف قطر حلقة آينشتاين الزاوي.

13-2 التعدس الجذبي بدلالة زاوية الانحناء:

(1) التعدس الجذبي القوي: أنظر الشكل (19-2).



الشكل (19-2) يوضح التعدس الجذبي القوي (تعدد الصور واقواس وتشوهات كبيرة)

إن (Walsh et al, 1979) أول من اكتشف العدسة الجذبية الناتجة عن الانحناء القوي والذي يفيد في حساب كتل وانصاف اقطار قلوب العناقيد المجرية وحساب ثابت هابل والدراسة الاحصائية لحالات التعدس القوي تستعمل في البحث عن المادة المعتمدة في الكون (Grossman & Narayan, 1989) ويمكن لعدسات العناقيد المجرية ان تكون تلسكوباً كونياً نشاهد به أجساماً بعيدة جداً (Schneider, 1995).

(2) التعدس الجذبي الضعيف:

التعدس الجذبي الضعيف هو انحناء مسار الاشعة بزواوية صغيرة بحيث أنه لا يمكن الكشف عنه إلا باستخدام دراسة أحصائية للارصادات بتعاقب الازمان، ويحدث في الحالات التي تكون فيها العدسة كوازر والمصدر عنقود مجري (Kaiser, et al 1995). أو تكون العدسات والمصادر مجرات ويلاحظ هذا الانحناء في المناطق الخارجية للعنقود المجري، لأن أي توزيع

غير متجانس للمادة ما بين الراصد والمصدر البعيد سيؤثر في الموقع الزاوي للمصدر وفي سطوعه الظاهري (Gunn, 1967)، ويمكن الكشف عن التعدس الضعيف باستعمال التحليل الاحصائي فقط بدراسة مليون مجرة أو أكثر والتعدس الضعيف ينتج صوراً مفردة قليلة التشويه، وهذه الخاصية تساعد في فهم التوزيع الكتلي للعناقيد المجرية، وأن أول من أكتشف وجود الصور ذات التشويه القليل وعدها ناتجة عن تعدس جذبي ضعيف هو [Tyson et al, 1990] ، ويستفاد من التعدس الجذبي الضعيف في حساب انتشار الكتلة السطحية للعناقيد المجرية [Kayser&Squires, 1993] ورسم خرائط التوزيعات الكتلية في العناقيد المجرية (Waerbeke&Mellier, 1996)، كما يمكن استخدامه لإعادة دراسة البناء للكتل العنقودية (Wambsganss, 2001)، وللكشف عن المادة المعتمدة كما استخدم التعدس الضعيف (Erik et al, 2008) بوصفه متحسناً للطاقة المعتمدة، كما يعد التعدس الضعيف من أهم الأدلة على كون الكون معجلاً (Frieman et al, 2008).

(3) التعدس الجذبي الدقيق:

التعدس الجذبي الدقيق هو ناشئ عن إنحناء قوي للأشعة، غير أن المسافة التي تفصل الصور صغيرة جداً حوالي مايكروثانية قوسية [microarcsecond] ، لذا لا يمكن مشاهدته مباشرة (Paczynski, 1996) ولكن يتم الكشف عن وجوده عن طريق التغيير الحاصل ضمن فترة زمنية للفيض القادم من النجوم الذي يظهر في منحنيات الضوئية فقد تنبأ Paczynski عام 1986 بأنه من الممكن اكتشاف أن الأجسام المركزة أو المضغوطة [MACHO] تعمل بوصفها عدسات دقيقة، ومن مراقبة مليون نجم موجود في المجرة المجاورة لمجرتنا LMC Large maglanic cloud سحابة ماجلان الكبيرة، ومن ملاحظة لمعان هذه النجوم

سنرى تغيرات في بعضها بسبب حقيقة أن هذه الاجسام المضغوطة والموجودة في الهالة تمر بين الحين والآخر من أمام النجم. فتؤدي إلى حدوث تكبير في سطوعه، والمشكلة العملية هي قلة احتمالية حدوث مثل هذه التغيرات، حيث أن واحدة من ثلاثة ملايين من النجوم الموجودة في الـ LMC سوف تكبر بشكل ملحوظ في اي وقت كان، وهذا مما دعا إلى عمل جماعي على شكل مجموعات من الفيزيائيين والفلكيين، فظهرت نتائج بحثهم الاولى في أكتشافات التعدس الجذبي الدقيق (Udalski et al, 1993) و (Aubourg, 1993).

وإذا استمر اكتشاف احداث تعدس جذبي دقيق بشكل كافٍ، فانه سيكون ممكننا رسم خرائط لتوزيع الكتل النجمية الموجودة في مجرتنا درب التبانة (Narayan&Bartelman, 1997) بعد ذلك ظهرت مجموعات بحثية جديدة ركزت عملها من اجل أكتشاف كواكب خارج مجموعتنا الشمسية، فقد تم التأكيد على اكتشاف لكواكب بحجم الأرض خارج المجموعة الشمسية (mcclelland,2008)، وقد قام (Bunker&Ignace,2008) بدراسة مصادر التعدس عن طريق التعدس الجذبي الدقيق ورسم هيئة غلاف المصدر من دراسة اطيافه المختلفة، واكتشف [Sullivan et al, 2008] ثمانية أحداث تعدس جذبي دقيق محتملة وذلك باستخدام تلسكوب نيوتن ورصد 50000 متغير.

14-2 التعدس الجذبي بدلالة عدد وأشكال صورالمصدر:

(1) الصور المتعددة: أنظر الشكل (20-2).



الشكل (20-2) يظهر فيه صور متعددة لمصدر (Winn et al ,2003)

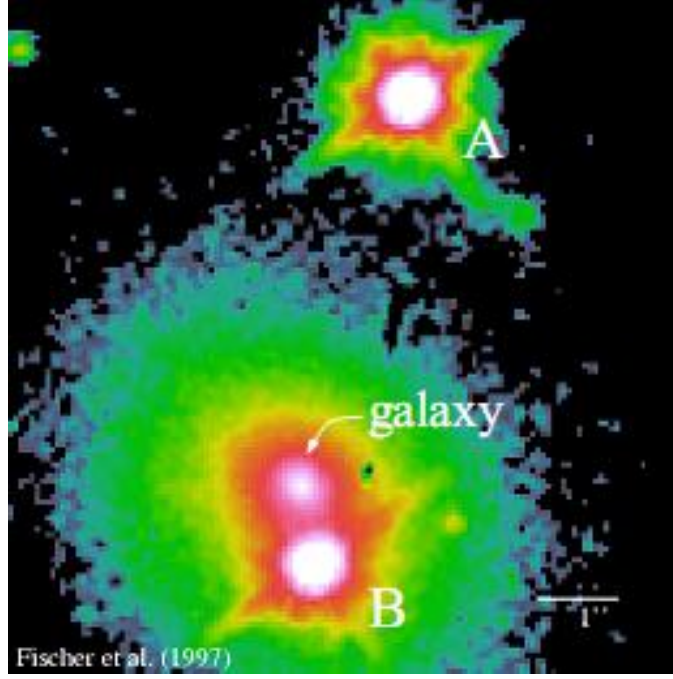
تصنف العدسات الجذبية حسب صور المصدر التي تظهر إلى :

1. عدسات ثنائية : إذ تظهر العدسة وعلى طرفيها صورتان مثال ذلك كما في الشكل (21-2)

والجدول (1-2) بعض العدسات الثنائية التي تم اكتشافها مع ذكر الزحزحة الحمراء للمصدر والعدسة.

جدول (1-2) العدسات ثنائية الصور

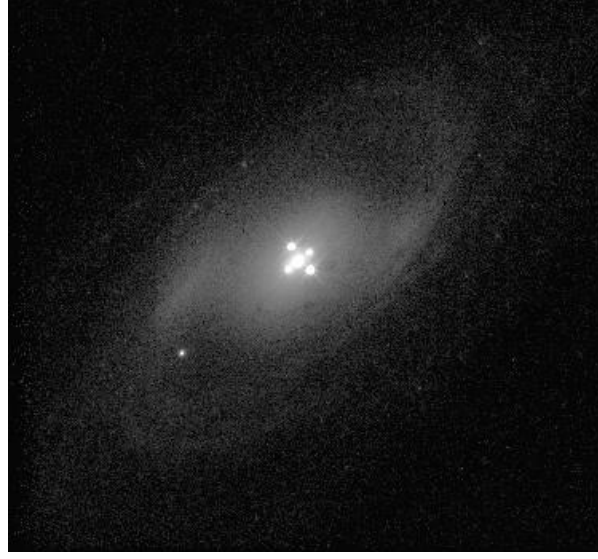
الباحثون	الزحزحة الحمراء للعدسة Z_L	الزحزحة الحمراء للمصدر Z_S	اسم العدسة
Walsh et al,1979	0.36	1.4	Qso0957+561
Claeskens,1996	-----	2.55	Q1017-207
Oguri et al,2004	-----	1.838	SDSS J100128.61+502 756.9



الشكل (21-2) يمثل صورة مأخوذة من تلسكوب هابل تظهر فيه صورتا الكوازر 0957+561 عبر مجرة عدسة جاذبية (ثنائية الصور) (Fischer et al,1997) (Chang et al, 1979)

2 عدسات رباعية : إذ تظهر العدسة محاطة بأربع صور تكون على الأغلب بشكل تقاطع، وقد عرض الجدول (2-2) بعض العدسات الرباعية التي تم اكتشافها مع ذكر الزحزحة الحمراء للمصدر والعدسة، وعرض صورة فوتوغرافية في الشكل (22-2) لمصدر عبر عدسة من هذه العدسات.

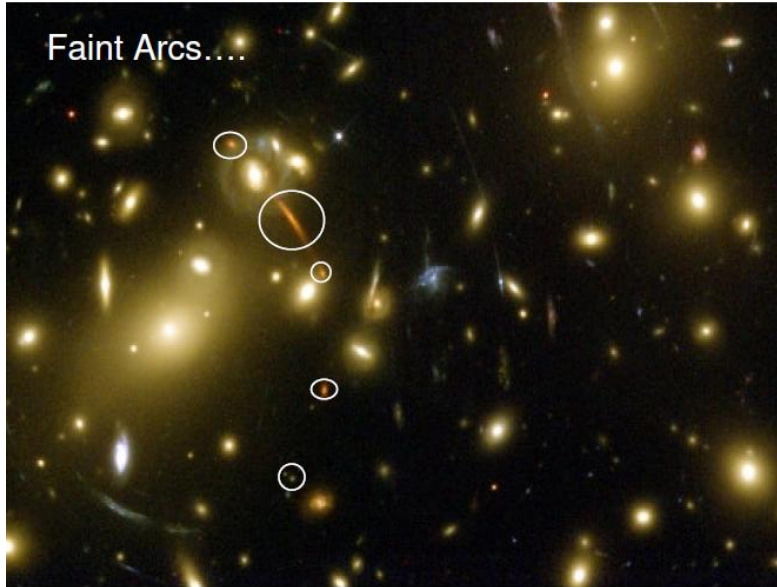
الباحثون	الزحزحة الحمراء للعدسة Z_L	الزحزحة الحمراء للمصدر Z_S	اسم العدسة
Weymann et al,1980	0.29	1.72	Q1115+080
Huchra et al,1985	0.04	1.69	Q2237+0305
Magain et al,1992	1.4,1.7	2.55	Q1413+117
Hewitt et al,1989	1	2.63	Q 0414+0534
Patnaik et al,1992	0.64	13.62	Q1422+231



الشكل (22-2) صور للكوازر Q 2237+0305 عبر عدسة جاذبية (عدسة رباعية الصور) (Mosquera, A. et al, (2009))، وهناك من اكتشف ثلاثة صور للكوازر (Chartas, G et al, 1984) AGN2016+112(h)

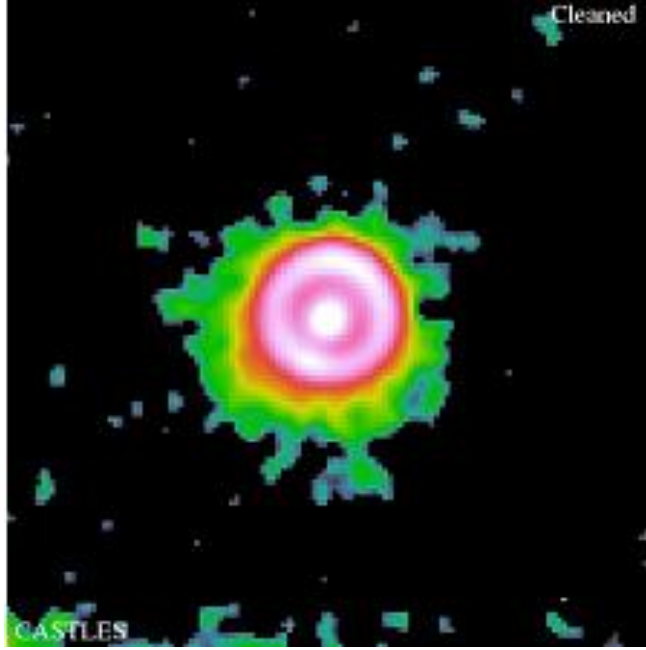
(2) الأقواس :

تظهر العدسة محاطة بأقواس متفرقة كبيرة أو صغيرة والشكل (2-32) يوضح صوراً فوتوغرافية لبعض من هذه العدسات أنظر الشكل (2-23).



الشكل (23-2) تظهر فيه صور مصادر مشوهة على شكل أقواس (Tyson et al. 1990)

(3) **الحلقات :** كما في الشكل (2-24).



الشكل (2-24) يظهر فيه حلقة هي صورة لمصدر باستخدام تلسكوب هابل
تظهر العدسة محاطة بحلقة أو حلقتين (Schechter et al,1997)

وفي التاسع من شهر شباط 2008 أعلن الفلكيون في وكالة الفضاء الامريكية NASA والاوربية ESA مستخدمين تلسكوب هبل الفضائي عن جمع دليل (كتلوك) كبير من العدسات الجذبية الجديدة في الكون البعيد .يحتوي هذا الكتلوك على (67) صورة لعدسات جذبية جديدة وجدت حول مجرات بيضوية (أهليلجية) يظهر هذا الكتلوك التنوع الكثير للعدسات الجذبية القوية.

15-2 استعمال ظاهرة التعدس الجذبي في البحث عن المادة المغممة:

مع أن هناك دليل قوي على وجود المادة المغممة كمكون رئيسي للكون، ولكن أكثر سمات هذه المادة غامضة جداً، نحن لا نعرف ما هي المادة المغممة، ولا شكل توزيعها في مجرتنا، فقبل عقود مضت ظهرت في الفكر الفيزيائي الحاجة إلى افتراض مكون فعال للكون البدائي بما أن المادة المغممة لم تكشف بالمعنى التقليدي للكشف not detectable with conventional technology لكونها لا تبعث أشعاع أو ضوء لذا بحث الفيزيائيون عن سلوكها عبر الأشياء التي بقربها (Fahlman, 1994).

وهناك أدلة على وجود المادة المغممة:

[1] سرعة المجرات في العناقيد المجرية: يعد هذا الدليل أضعف الأدلة وأقدمها، وهو يرتبط بدراسة حركة المجرات داخل العناقيد المجرية (والتي هي عبارة عن تجمع لعدة مئات إلى عدة آلاف من المجرات المعزولة في الفضاء).

في الثلاثينيات من القرن الماضي درس Fritz Zwicky و Smith عنقودين متجاورين (fergo و comma) ودرسا المجرات المفردة التي تكون العنقودين المجريين وسرعاتها، ووجدوا أن سرعات المجرات تفوق توقعاتهما بعشرة مرات إلى مائة مرة، وهذا دليل على أن الجاذبية بين تلك المجرات وداخل العنقود كبيرة والجاذبية (التي تعد القوة الوحيدة التي تهمنا عند دراسة العناقيد المجرية) تزيد كلما زادت الكتلة داخل العنقود، وكذلك فإن دراسة سرعات الجرات يعطي أنطباعاً عن الكتلة الكلية داخل العنقود بطريقتين الأولى: أنه كلما زادت الكتلة داخل العنقود كلما زاد مقدار قوة الجاذبية المؤثرة في كل مجرة، وهي التي بدورها تزيد من تسارع المجرات إلى سرعات عالية.

اما الطريقة الثانية التي تدلنا بها السرعات إلى مقدار الكتلة الكلية داخل العنقود المجري فهي تتلخص فيما يلي: إذا ما كانت سرعة مجرة ما كبيرة جداً، فإن المجرة ستكون قادرة على كسر الرابطة الجاذبة للعنقود المجري أي، إذا كانت سرعة المجرة أكبر من سرعة تسمى (سرعة الهروب) فإن المجرة سوف تترك العنقود المجري، وبمعرفة أن كل المجرات تملك سرعات أقل من سرعة الهروب يكون بالإمكان تخمين الكتلة الكلية، وبناءً على السرعات التي رصدت فإن الكتلة الكلية أكبر بكثير مما تفرضه الفرضيات التي تستند على حساب كتل المواد الظاهرة أو القابلة للرصد، مما يعني أنه توجد كتلة لم تؤخذ في الحسبان (مادة معتمة) ولو أننا أعدنا التفكير فيما حدث سابقاً فإن الدليل شبه القوي (أي امتلاك المجرات لسرعات أكبر من التوقعات المفترضة) لم يتم تقييمه بشكل دقيق، فتلك الملاحظات الرصدية يمكن ان تفسر بشكل آخر، فعندما ننظر إلى شيء واسع وضخم كالعنقود المجري، فسرعة المجرات وان كانت كبيرة إلى حد ما فإنه لا مجال لمقارنتها مع التوسع الهائل للعنقود، لذا وأن تمت مراقبة العنقود على مدى سنوات عديدة فإن ذلك لا يعطي شيئاً سوى الصورة الساكنة للعنقود، لذلك فإننا لا نستطيع أن نرى المجرات يتزاحم بعضها حول بعض. وربما أن بعض المجرات الأخرى كانت مجرد "مجرات في المقدمة" أي تقع أمام العنقود المجري على خط الرؤية بالنسبة لنا، وفي هذه الحالة تكون بيانات السرعة لتلك المجرات مجرد مضللات، وعليه فإن هذا الدليل وإن اعطى تلميحاً على وجود كتلة (مادة) لا نعرفها، إلا أنه ليس دليلاً قاطعاً. (Fischer et al, 1997).

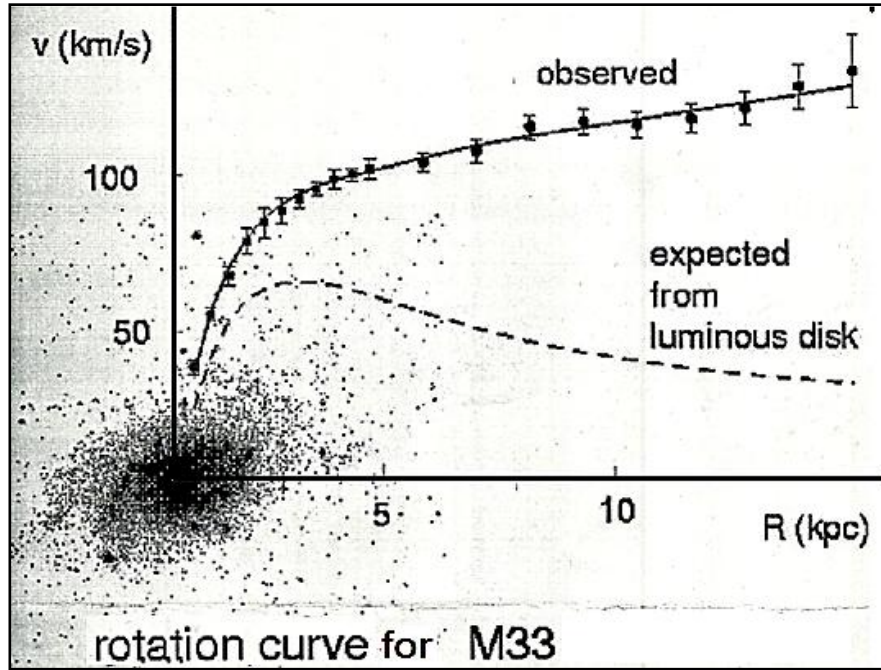
الدليل الثاني والاقوى : منحنيات دوران المجرات

ظهر هذا الدليل في السبعينيات من القرن الماضي، عندما بدأ بعض الفيزيائيين بقياس منحنيات الدوران للمجرات، وهو دليل أقوى لأنه يقدم بيانات موثوقة بها (Auburg et al 1993). كما يمكن اخضاعه للكثير من المجرات، ومن المعروف أن المجرات

تدور حول مراكزها، بشكل قريب من دوران الكواكب حول الشمس، وهو يخضع لقوانين كبلر للدوران حول المركز (والتي تنص على أن السرعة الدورانية حول المركز تعتمد فقط على البعد عن المركز، وعلى الكتلة الكلية المحتواة ضمن المدار). لذا فإنه بايجاد السرعات الدورانية على طول المجرة، يكون بإمكاننا أن نحسب كتلة المجرة التي تقع داخل المدار، ولأننا كلما مضينا على طول طرف المجرة مبتعدين عن المركز، وعلى هذا نتوقع أن السرعات الدورانية تنقص ولكن ذلك لا يحدث، لأن السرعات الدورانية تبقى عالية وفوق ما يمكن توقعه وهذا ما يشير بقوة إلى وجود قدر عظيم من الكتلة في المجرة ليس بالامكان رؤيته. لقد ثبت هذا للعديد من المجرات التي تشبه مجرتنا (Koo, 1987) مع النتائج نفسها.

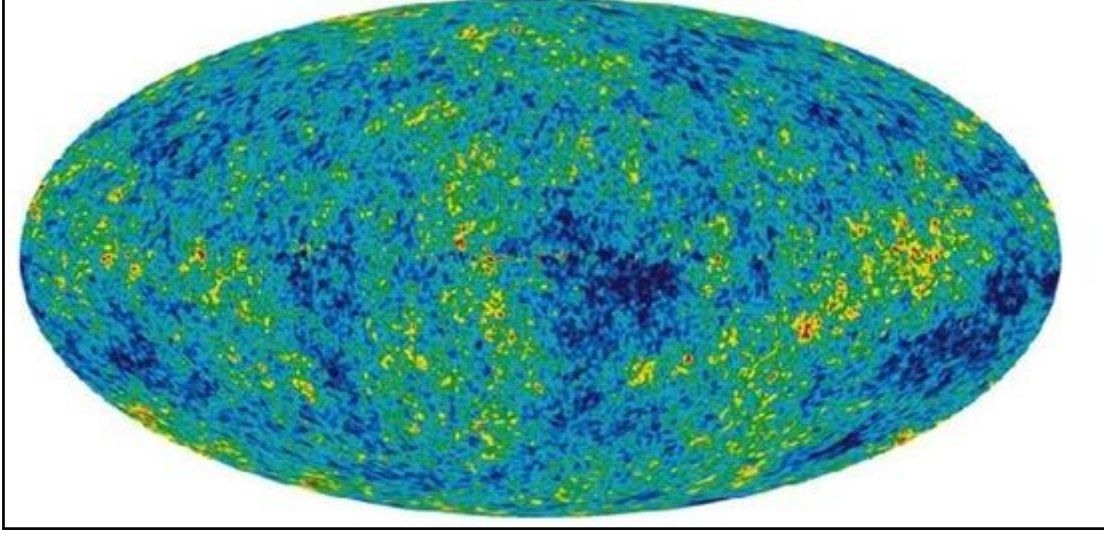
ولذلك يكون هذا الدليل هو الأقوى على وجود المادة المعتمة التي تتخلل المجرات لاحظ

الشكل (25-2).



الشكل رقم (25-2) يبين العلاقة بين المسافة إلى مركز المجرة والسرعة الدورانية للمجرة، واما الخط الموصول فهو ما يشاهد واقعياً، مما يدل على وجود كتلة لم تؤخذ في الحسبان (Gerhard et al , 2001).

الدليل الثالث: نتائج رصد الأشعاع الخلفي الكوني المايكروني وهذا يعني أن الضوء الذي نرصده في الكون حالياً (وهو الضوء الذي تبقى ولم يتفاعل مع المادة) منذ بدايات تشكل الكون قبل مليارات السنين على الأقل فهو يعطي للفيزيائيين تصوراً عن شكل الكون في الماضي السحيق (أي كانه صورة للكون في بداياته) كما في الشكل رقم (26-2).



**الشكل رقم (26-2) الاشعاع الخلفي الكوني
(cosmic microwave background radiation)**

عند دراسة توزيع الحرارة في الشكل (26-2) يتبين أنه توجد اختلافات طفيفة في درجة حرارة الإشعاع الكوني في مختلف الاتجاهات. وهذا الاختلاف الطفيف هو السبب في نشوء البنية الكونية التي نراها اليوم من مجرات، وعناقيد مجرية و نجوم و غيرها، و لكن التذبذب الطفيف المرصود في إشعاع الخلفية غير كاف لنشوء و تكون تلك البنية، إن افترض وجود مادة مظلمة مطلوب لكي يسمح لقوة الجاذبية أن تزيد، و بالتالي أن يزيد ذلك التذبذب في درجة الحرارة وبالتالي نشوء تلك البنى.

الدليل الرابع : ظاهرة التعدس الجذبي للضوء: إن طريقة الاستدلال على وجود مادة معتممة هو أن الكتلة الظاهرة للتجمعات المجرية المتسببة في انحناء الضوء غير كافية لحرف الضوء ليظهر بالشكل المرئي في تلك الصور، بل ينبغي وجود كتلة أكبر بكثير، و بناء على ذلك فإن هذه الظاهرة دليل على وجود مادة معتممة في تلك المنطقة، تزيد من كتلة تلك المجرة أو العنقود المجري، وبالتالي تؤدي إلى مثل تلك الانحناءات الضوئية المشاهدة انظر الشكل (2-27) والشكل (2-28).

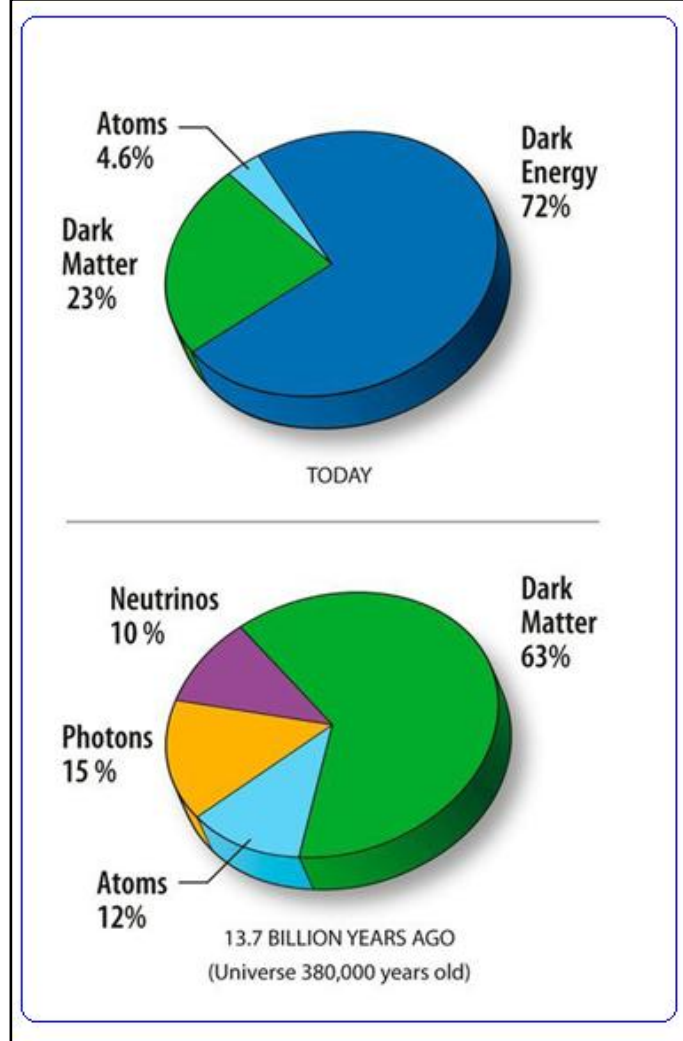


الشكل رقم (2-27) يتضح فيه البقع الصفراء المتكررة وهي عبارة عن صورة للكوازار نفسه ظهرت بهذا الشكل بسبب ظاهرة الانحناء الجذبي.

2-15-1 كيفية تحديد كمية المادة المعتممة في الكون:

بما أن $\Omega = \frac{\rho}{\rho_c}$ (حيث أن ρ_c هي الكثافة الحرجة المطلوبة لتدب الزمكان و ρ كثافة الكون فإن نسبة المادة المرئية في كوننا تقدر بـ $\Omega = 0.05$ وإن Ω هي (normalized density)، وهو رقم صغير جداً ففي الفيزياء الكونية لكون مستقر تكون قيمة

$\Omega = 1$ وذلك لوجود تصديق قوي بأن كوننا هو كون مسطح بناء على البيانات المتوفرة من الإشعاع الخلفي الكوني (Newberg, H., Couch, W., 1999) وهذا يعني أن كلاً من الطاقة المادة المعتمدة تشكل ما تبقى من الكون $\Omega = 0.95$ و كما في الشكل رقم (28-2).



الشكل (28-2) يوضح توزيع المادة المعتمدة والطاقة المعتمدة والمادة المرئية في العهد الحالي و الماضي السحيق.

إن البحث عن المادة المعتمدة في مجرتنا أو المجرات القريبة يعتمد بشكل كبير على التعدس الجذبي بوصفه وسيلة للكشف عنها، وذلك لعدة أسباب منها أنه باستعمال التعدس الجذبي يمكن تعيين كتل المجرات وعناقيد المجرات، حيث أن التعدس الجذبي دليل ومؤشر على كلاً من

المادة الكلية والمادة المعتمدة فتحديد زاوية الانحناء التي تسببها القوة الجذبية (في نموذج العدسة الجذبية النقطية) يكون بتحديد المجال الجذبي (الذي يعتمد اساسا على التوزيع الكتلي للمادة) فمن نظرية النسبية العامة ومن معرفة التوزيع الكتلي للمادة يمكن استقصاء كمية المادة المعتمدة الموجودة، وفي عام 1986 رشح التعدس الجذبي الدقيق للكشف عن (MACHOS) في الحالة المجرية بمراقبة النجوم في غيمة ماجلان الكبيرة والصغيرة (Larg magelanic cloud,) (Small magelanic cloud, SMC) (LMC).

إن الأشياء الموجودة في حالة درب التبانة مثل الأقزام السمرء أو الثقوب السوداء، من الممكن أن تسبب تعدس جذبي دقيق لنجم بعيد فيزداد ويخفت لمعانه، إذا كانت هذه الاجرام على خط مستقيم مع موقع المشاهد لنجم بعيد (في الحسابات الفلكية) على نفس الخط فأن اللمعان يزداد عند الأتساق، والـ MACHOS كانت المتوقعة لتعتبر قسم من المادة المعتمدة (Kayser&Squires, 1993)، فهي لا يمكن الكشف عن وجودها ما لم تحسب علاقتها التفاعلية مع اجسام اخرى (Paczynski, 1996)، ففي عام 1986 اقترح Paezynski انه للكشف عن المادة المعتمدة يتوجب أن تكون الارصادات الفلكية مستمرة لنجوم سحابة ماجلان الكبيرة Large Magelanic Cloud (LMC) ونجد ان الكثير من الباحثين أهتم باثبات وجود المادة المعتمدة وتخمين كميتها وذلك لأهمية وجود المادة المعتمدة حيث إنه بدونها يصبح من الصعب تفسير تباعد الكون، (Kowalski, 2007)، (Mukherjee, 2005).

16-2 المساطر الكونية:

وقد ظهرت (منذ أن بدأت الابحاث الكونية) الحاجة إلى وجود مسطرة يقاس من خلالها الابعاد الكونية المختلفة فأنبرى الباحثون في صناعة مسطرة كونية بوحدات قياس مختلفة ومن أحدث المساطر المصنعة في هذا المجال، ما صنعه الباحثة Danuta Paraficz في (Paraficz1. Hjorth1,2009)

ففي دراستها لعلاقة الدالة $\frac{\Delta}{\epsilon^2}$ مقابل ZL لاحظ الشكل (3-4) الذي يتبين فيه

اولا دالة ΔT مقابل ZL

ثانيا دالة $\frac{1}{\epsilon^2}$ مقابل ZL

ثالثا دالة $\frac{\Delta T}{\epsilon^2}$ مقابل ZL (تغير الدالة أكثر انعطافا من أولاً وثانياً مما مكن الباحثين

من اتخاذها مسطرة كونية كبيرة في حسابات الابعاد الكونية)

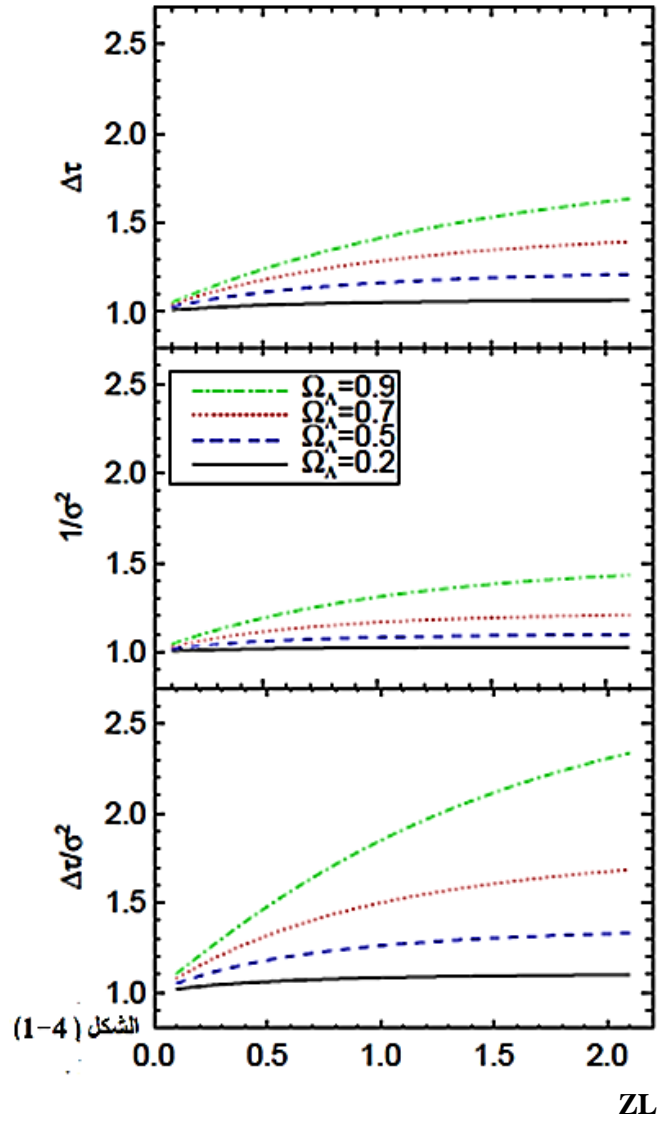
حيث ان ϵ هي سرعة الانتشار.

ZL هي زحزحة العدسة الجذبية نحو الاحمر.

ΔT هو التغير في الزمن.

وذلك باستخدام المعادلة (2-10) أدناه

$$\frac{Ds DL}{DLs} \frac{1+Zl}{c} \Delta T = \left\{ + \frac{1}{2} (\theta - B)^2 - \Phi[\theta] \right\} \quad [10-2]$$



الشكل (3-4) الذي يتبين فيه (1) دالة ΔT مقابل ZL
 (2) دالة $\frac{1}{\sigma^2}$ مقابل ZL (3) دالة $\frac{\Delta T}{\sigma^2}$ مقابل ZL

1-3 دراسة تغير زاوية التعدس α مع تغير كتلة الاجرام الكونية M

لمعرفة طبيعة تأثير متغيرات التعدس الجذبي ببعضها قمت في هذا الفصل بدراسة تأثير

زيادة الكتلة على زاوية التعدس (زاوية التعدس الجذبي) بثبات بعد التأثير، فقد اخذت قيم

افتراضية لـ M تبدأ بكتلة شمسية واحدة M_0 وتنتهي بـ $10^9 M_0$ وتبين كيف تتغير α مع

M وبتطبيق المعادلة [2.1] وبتكرار هذا التطبيق لعدة قيم لبعد التأثير ξ تداب $\xi = 2\text{kpc}$ ،

وتنتهي بـ $\xi = 1600\text{kpc}$ ، مما انتجت القراءات التالية في الجدول (1-3).

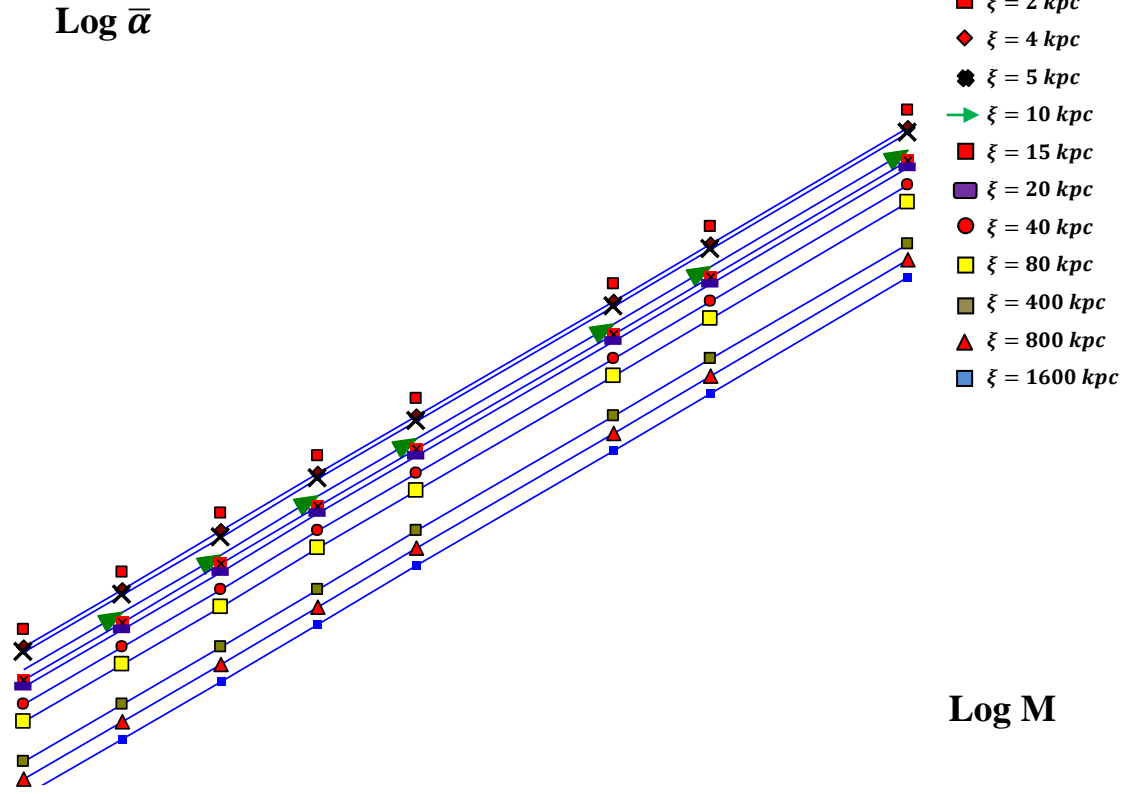
الجدول (1-3) يبين تغير زاوية التعدس α بتغير بعد التأثير ξ وبتغير كتلة العدسة M

ξ	M	log (M)	log (α)	α
$=2\text{kpc}=6.168*10^{19}$	$=1.98892*10^{33}M_0$ kg	33.29861	-13.0195	$9.559*10^{-14}$
	$10 M_0$	34.29861	-12.01958	$9.559*10^{-13}$
	$10^2 M_0$	35.29861	-11.01958	$9.559*10^{-12}$
	$10^3 M_0$	36.29861	-10.01958	$9.559*10^{-11}$
	$10^4 M_0$	37.29861	-9.01958	$9.559*10^{-10}$
	$10^6 M_0$	39.29861	-7.01958	$9.559*10^{-8}$
	$10^7 M_0$	40.29861	-6.01958	$9.559*10^{-7}$
	$10^9 M_0$	42.29861	-4.01958	$9.559*10^{-5}$
$=4\text{kpc}=1.2336*10^{20}$	$=1.98892*10^{33}M_0$ kg	33.29861	-13.320616	*
	$10 M_0$	34.29861	-12.32066	$4.7795*10^{-14}$
	$10^2 M_0$	35.29861	-11.32061	$4.7795*10^{-13}$
	$10^3 M_0$	36.29861	-10.3206	$4.7795*10^{-12}$
	$10^4 M_0$	37.29861	-9.32061	$4.7795*10^{-11}$
	$10^6 M_0$	39.29861	-7.32061	$4.7795*10^{-10}$
	$10^7 M_0$	40.29861	-6.32061	$4.7795*10^{-8}$
	$10^9 M_0$	42.29861	-4.32061	$4.7795*10^{-7}$
$=5\text{kpc}=1.5428*10^{20}$ meter	$=1.98892*10^{33}M_0$ kg	33.29861	-13.41782	$3.821*10^{-14}$
	$10 M_0$	34.29861	-12.41782	$3.821*10^{-13}$
	$10^2 M_0$	35.29861	-11.41782	$3.821*10^{-12}$
	$10^3 M_0$	36.29861	-10.41782	$3.821*10^{-11}$
	$10^4 M_0$	37.29861	-9.41782	$3.821*10^{-10}$
	$10^6 M_0$	39.29861	-7.41782	$3.821*10^{-8}$
	$10^7 M_0$	40.29861	-6.41782	$3.821*10^{-7}$
	$10^9 M_0$	42.29861	-4.41782	$3.821*10^{-5}$

ξ	M	$\log (M)$	$\log (\acute{\alpha})$	$\acute{\alpha}$
=10kpc =3.0856* 10^{20} meter	=1.98892* 10^{33} kgM ₀	33.29861	-13.718852	1.9105* 10^{-14}
	$10 M_0$	34.2986	-12.7188529	1.9105* 10^{-13}
	$10^2 M_0$	35.29861	-11.7188529	1.9105* 10^{-12}
	$10^3 M_0$	36.29861	-10.7188529	1.9105* 10^{-11}
	$10^4 M_0$	37.29861	-9.7188529	1.9105* 10^{-10}
	$10^6 M_0$	39.29861	-7.7188529	1.9105* 10^{-8}
	$10^7 M_0$	40.29861	-6.7188529	1.9105* 10^{-7}
	$10^9 M_0$	42.29861	-4.7188529	1.9105* 10^{-5}
=15kpc=4.6284* 10^{20} meter	M ₀ =1.98892* 10^{33} kg	33.29861	-13.8949442397	1.2736666* 10^{-14}
	$10 M_0$	34.29861	-12.8949442397	1.2736666* 10^{-13}
	$10^2 M_0$	35.29861	-11.8949442397	1.2736666* 10^{-12}
	$10^3 M_0$	36.29861	-10.8949442397	1.2736666* 10^{-11}
	$10^4 M_0$	37.29861	-9.8949442397	1.2736666* 10^{-10}
	$10^6 M_0$	39.29861	-7.8949442397	1.2736666* 10^{-8}
	$10^7 M_0$	40.29861	-6.8949442397	1.2736666* 10^{-7}
	$10^9 M_0$	42.29861	-4.8949442397	1.2736666* 10^{-5}
=20kpc=6.1712* 10^{20} meter	M ₀ =1.98892* 10^{33} kg	33.29861	-14.0198829	0.95525* 10^{-14}
	$10 M_0$	34.29861	-13.0198829	0.95525* 10^{-13}
	$10^2 M_0$	35.29861	-12.0198829	0.95525* 10^{-12}
	$10^3 M_0$	36.29861	-11.0198829	0.95525* 10^{-11}
	$10^4 M_0$	37.29861	-10.0198829	0.95525* 10^{-10}
	$10^6 M_0$	39.29861	-8.0198829	0.95525* 10^{-8}
	$10^7 M_0$	40.29861	-7.0198829	0.95525* 10^{-7}
	$10^9 M_0$	42.29861	-5.0198829	0.95525* 10^{-5}
=40kpc=12.3360* 10^{20}	M ₀ =1.98892* 10^{33} kg	33.29861	-14.32061	4.7795* 10^{-15}
	$10 M_0$	34.29861	-13.32061	4.7795* 10^{-14}
	$10^2 M_0$	35.29861	-12.32061	4.7795* 10^{-13}
	$10^3 M_0$	36.29861	-11.32061	4.7795* 10^{-12}
	$10^4 M_0$	37.29861	-10.32061	4.7795* 10^{-11}
	$10^6 M_0$	39.29861	-8.32061	4.7795* 10^{-9}
	$10^7 M_0$	40.29861	-7.32061	4.7795* 10^{-8}
	$10^9 M_0$	42.29861	-5.32061	4.7795* 10^{-6}
=80kpc=24.672* 10^{20}	M ₀ =1.98892* 10^{33} kg	33.29861	-14.62164	2.38975 * 10^{-15}
	$10 M_0$	34.29861	-13.62164	2.38975 * 10^{-14}
	$10^2 M_0$	35.29861	-12.62164	2.38975 * 10^{-13}
	$10^3 M_0$	36.29861	-11.62164	2.38975 * 10^{-12}
	$10^4 M_0$	37.29861	-10.62164	2.38975 * 10^{-11}
	$10^6 M_0$	39.29861	-8.62164	2.38975 * 10^{-9}
	$10^7 M_0$	40.29861	-7.62164	2.38975 * 10^{-8}
	$10^9 M_0$	42.29861	-5.62164	2.38975 * 10^{-6}
400kpc=12.3360* 10^{21}	M ₀ =1.98892* 10^{33} kg	33.29861	-15.320617	4.7795* 10^{-16}

ξ	M	$\log (M)$	$\log (\dot{a})$	\dot{a}
	$10 M_0$	34.29861	-14.320617	$4.7795 \cdot 10^{-15}$
	$10^2 M_0$	35.29861	-13.320617	$4.7795 \cdot 10^{-14}$
	$10^3 M_0$	36.29861	-12.320617	$4.7795 \cdot 10^{-13}$
	$10^4 M_0$	37.29861	-11.320617	$4.7795 \cdot 10^{-12}$
	$10^6 M_0$	39.29861	-9.320617	$4.7795 \cdot 10^{-10}$
	$10^7 M_0$	40.29861	-8.320617	$4.7795 \cdot 10^{-9}$
	$10^9 M_0$	42.29861	-6.320617	$4.7795 \cdot 10^{-7}$
800kpc= $24.672 \cdot 10^{21}$	M_0 = $1.98892 \cdot 10^{33}$ kg	33.29861	-15.621647	$2.38975 \cdot 10^{-16}$
	$10 M_0$	34.29861	-14.621647	$2.38975 \cdot 10^{-15}$
	$10^2 M_0$	35.29861	-13.621647	$2.38975 \cdot 10^{-14}$
	$10^3 M_0$	36.29861	-12.621647	$2.38975 \cdot 10^{-13}$
	$10^4 M_0$	37.29861	-11.621647	$2.38975 \cdot 10^{-12}$
	$10^6 M_0$	39.29861	-9.621647	$2.38975 \cdot 10^{-10}$
	$10^7 M_0$	40.29861	-8.621647	$2.38975 \cdot 10^{-9}$
	$10^9 M_0$	42.29861	-6.621647	$2.38975 \cdot 10^{-7}$
1600kpc= $49.344 \cdot 10^{21}$	M_0 = $1.98892 \cdot 10^{33}$ kg	33.29861	-15.92267	$1.194875 \cdot 10^{-16}$
	$10 M_0$	34.29861	-14.92267	$1.194875 \cdot 10^{-15}$
	$10^2 M_0$	35.29861	-13.92267	$1.194875 \cdot 10^{-14}$
	$10^3 M_0$	36.29861	-12.92267	$1.194875 \cdot 10^{-13}$
	$10^4 M_0$	37.29861	-11.92267	$1.194875 \cdot 10^{-12}$
	$10^6 M_0$	39.29861	-9.92267	$1.194875 \cdot 10^{-10}$
	$10^7 M_0$	40.29861	-8.92267	$1.194875 \cdot 10^{-9}$
	$10^9 M_0$	42.29861	-6.92267	$1.194875 \cdot 10^{-7}$

Variation of the angle with mass at constant impact parameter



الشكل رقم (3-1) يبين تغير قيمة زاوية الانحناء α كدالة لكتلة العدسة M عند قيم مختلفة لبعـد التأثير ξ

حيث ان $M_0 = \text{كتلة الشمس} = 1.98892 \times 10^{33} \text{ kg}$

$G = 6.67 \times 10^{-11} \text{ N.m}^2.\text{kg}$ (ثابت الجاذبية العام)

$C^2 = (3 \times 10^8)^2$ (مربع سرعة الضوء)

ولمعرفة العلاقة بين بعد التأثير ξ وزاوية التـعـدس α من الشكل 3-1 تأخذ قيم منتخبة

لـ $\log M$ فتتحدد قيم $\log \alpha$ المقابلة لها عند تغير قيم ξ كما في الجدول 3-3 والجدول 4-3

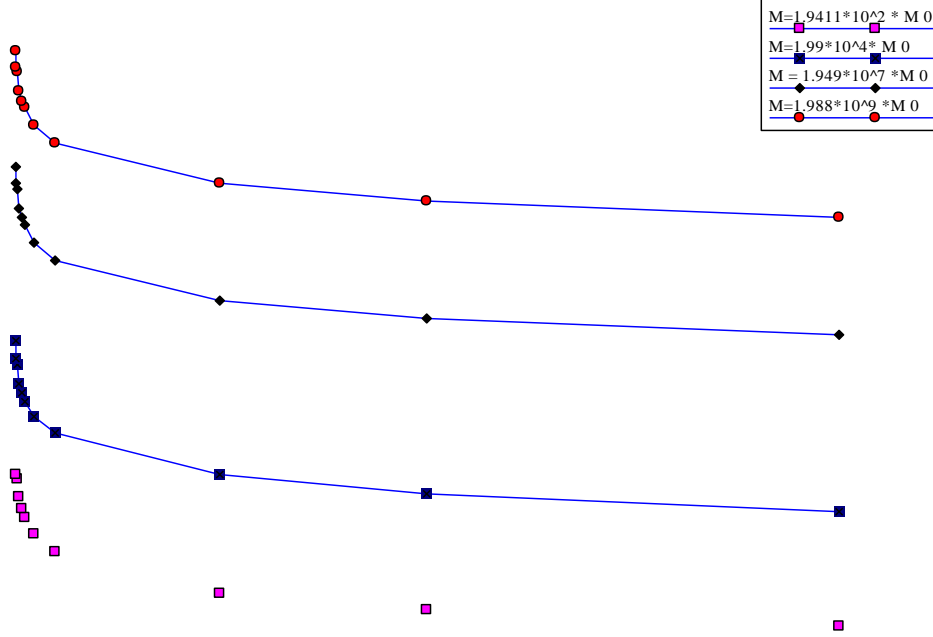
بينما الشكل (3-2) يبين العلاقة بين بعد التأثير ξ وزاوية الانحناء α .

الجدول (2-3) يبين تغير زاوية التعدس α بتغير بعد التأثير

Log α	ξ	Log M
-14.22	=1600kpc	35.01
-13.93	=800kpc	
-13.65	=400kpc	
-12.95	=80kpc	
-12.64	=40kpc	
-12.35	=20kpc	
-12.19	=15kpc	
-12.00	=10kpc	
-11.69	=5kpc	
-11.62	=4kpc	
-11.31	=2kpc	
-12.26	=1600kpc	37.00
-11.94	=800kpc	
-11.62	=400kpc	
-10.9	=80kpc	
10.61	=40kpc	
-10.37	=20kpc	
-10.20	=15kpc	
-10.04	=10kpc	
-9.73	=5kpc	
-9.63	=4kpc	
-9.31	=2kpc	

Log α	ξ	Log M
-9.22	=1600kpc	40.004
-8.93	=800kpc	
-8.62	=400kpc	
-7.92	=80kpc	
-7.61	=40kpc	
-7.32	=20kpc	
-7.19	=15kpc	
-7.04	=10kpc	
-6.69	=5kpc	
-6.59	=4kpc	
-6.31	=2kpc	
-7.19	=1600kpc	42.011
-6.91	=800kpc	
-6.59	=400kpc	
-5.9	=80kpc	
-5.61	=40kpc	
-5.30	=20kpc	
-5.20	=15kpc	
-5.01	=10kpc	
-4.69	=5kpc	
-4.60	=4kpc	
-4.31	=2kpc	

variation of $\log a$ with ξ at constant $\log M$



الشكل رقم (2-3) يبين تغير قيمة زاوية الانحناء الجذبي α كدالة لبعـد التأثير ξ عند قيم مختلفة لكتلة العدسة M

لقد تم رسم العلاقة بين زاوية الانحناء كدالة لكتلة العدسة ولقيم مختلفة لبعـد التأثير، بينما تم رسم العلاقة بين زاوية الانحناء α كدالة لبعـد التأثير ولقيم مختلفة من كتلة العدسة، فتبين من الشكل (1-3) أنه بثبات بعد التأثير ξ تزداد زاوية التعـدس بزيادة كتلة العدسة وأن هذه الزيادة هي زيادة خطية بينما يشير الشكل (2-3) إلى أن زاوية الانحناء α تقل بشكل أسي مع بعد التأثير عند ثبات كتلة العدسة إلى أن يصل بعد التأثير إلى 400 kpc بعدها يثبت تقريباً، وذلك لأن بعد التأثير يكون كبيراً بحيث تضعف قوة الجاذبية بشكل كبير في هذه المسافات مما يقلل من تأثيرها على انحناء الضوء.

2-3 حسابات لنتائج ارسادات:

1-2-3 عالي الاشعاع الكوازر (561 + 0957 وواطئ الاشعاع 0305+2237)

درس كل من (Sotnikova, N. Ya. * and Rodionov S. A., 2006) تخمين هالة

المادة المعتمدة من السُمك النسبي للمجاميع النجمية وفي البحث الحالي، فقد تبين من خلال دراسة

النموذج الحلقي لصورة الكوازر 0957+561 عالي الاشعاع (The radio-loud quasar)

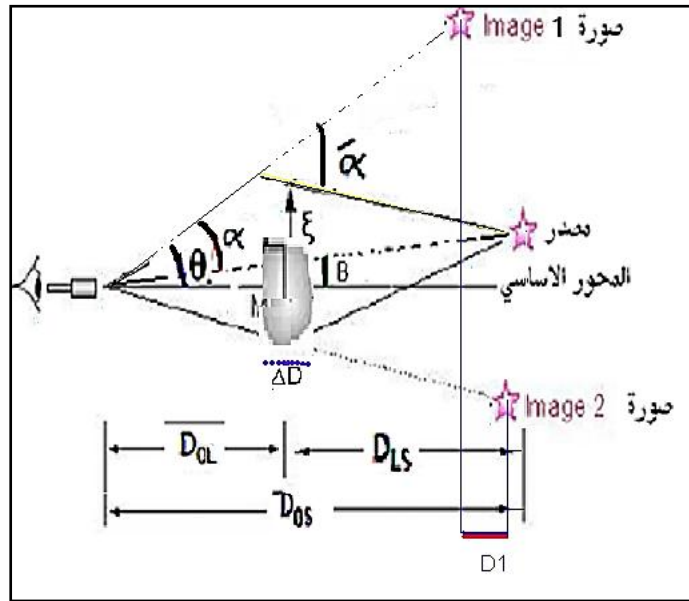
وصورة الكوازر 2237+0305 واطئ الاشعاع (The radio-quiet quasar) بان:

سُمك حلقة آينشتاين الكبيرة R مضروباً بـ k_{lens} = فرق المسار $D1$ (وهذا الذي

أيدته المقاربة لنتائج أبحاث سابقة على نفس النماذج الحلقية للكوازيين المشهورين، أنظر

المصادر الصفحة (71) حيث ان فرق المسار (المسافة التي يقطعها الضوء من صورة الكوازر

الاولى إلى الراصد - المسافة التي يقطعها الضوء من صورة الكوازر الثانية إلى الراصد).



الشكل رقم (3-3) يبين العدسة الجاذبية موضحة فيها $D1$ فرق المسار بين الصورة الاولى والثانية للمصدر

ليكن فرق المسار $D1$ ، التباين في الزحزحة الحمراء بين صورتَي الكوازر ΔZ ،

زمن التأخير T

$$\Delta Z T \sim \text{-----} (1-3) \quad \text{فإذا كان}$$

$$D1 \sim T \text{-----} (2-3)$$

$$D1 \sim \Delta Z \text{-----} (3-3) \quad \text{إذن}$$

$$(C = \text{light velocity} = \text{constant}) \quad D1 = C T x \text{-----} (4-3) \quad \text{ولكن}$$

$$T = \frac{D1}{c} \text{-----} (5-3) \quad \text{إذن}$$

$$\frac{D1}{c} \sim \Delta Z \text{-----} (6-3) \quad \text{إذن}$$

$$\Delta Z = H \frac{D1}{c} x \text{-----} (7-3) \quad \text{فيكون}$$

$$D1 x H = \Delta Z C \text{-----} (8-3) \quad \text{أو ان}$$

(Liddle A. 2003)

ومن المعادلة (8-3) نجد أن ثابت التناسب H له نفس وحدات ثابت هابل H_0

كما نجد في المعادلة (8-3) طرفها الأيسر هي عبارة عن ثابت سرعة الضوء مضروباً

ب رقم مجرد من الوحدة (مقدار التباين في الزحزحة ΔZ) ولتعريف هذا الطرف فيزيائياً، فإن

أنسب تعريف له يكون هو التباين في سرعة ظهور صورتَي الكوازر ويعطى الرمز

$$\Delta V = \Delta Z C .$$

إن هذا التباين في سرعة ظهور صورتَي الكوازر يحاكي التباين في سرعة حركة

الاجرام (النجوم والمجرات) المتباعدة، كما ان فرق المسار لصورتَي الكوازر يحاكي المسافة

بين هذه الاجرام المتباعدة.

$$V_0 = H_0 d \text{-----} (9-3) \quad \text{وبما ان قانون هابل}$$

حيث ان d هو بعد المجرات عند نقطة ما، V_0 سرعة تباعد المجرات، H_0 هو ثابت هابل

وبالمقارنة مع المعادلة (8-3) نجد ان $\Delta V \equiv V_0$ ، كما أن $H \equiv H_0$

وبما أن الثابت H له نفس وحدات ثابت هابل سنفترض ان قيمته لها نفس قيمة ثابت

هابل $H_0 = H = 65$ كم/ثانية لكل مليون فرسخ فلكي وتعادل 17 كم/ث لكل مليون سنة ضوئية

والمعتمد في الكثير من الدراسات (Schild, R and Vakulik, v ., 2003) (وحيث ان ثابت

هابل H_0 هو معدل تغير سرعة تمدد الكون مع المسافة، ويظهر قانون هابل أن الكون في تمدد

مستمر في جميع الاتجاهات منذ حدوث الانفجار الكبير تتناسب سرعة التمدد مع بعد المجرات

عند نقطة ما، وفي البحث الحالي وجد من استقراء القياسات الفلكية للكوازر 0957+561، أنه

يتناسب التباين في سرعة ظهور صورتها الكوازر $\Delta v + 561$ عبر المسارين طرديا مع

فرق المسار D وثابت العلاقة مساويا لثابت هابل $= 65$.

وبما ان $C \times \Delta Z = \Delta v$ و أن قيمة $Z_1 = 1.39$ وقيمة $Z_2 = 1.41$ ، هي قيم محسوبة سابقا

لصور الكوازر 0957+561 (Schild, R and Vakulik, v ., 2003)، $\Delta Z = Z_2 - Z_1$ ،

$$\Delta v = \Delta Z \times 3 \times 10^8 = 0.02 \times 3 \times 10^8 = 0.06 \times 10^8 \text{ فإن}$$

ووجد انه قيم ثابت العدسة Klens هي:

$$Klens = 1/20, Klens = 1/400, Klens = 1/160000 \text{ and so on}$$

وبالتعويض عن قيم Δv في المعادلة (9-3) يكون

$$65 = \frac{10^8 \times 0.06}{D_1} = \frac{10^8 \times 3 \times \Delta Z}{D_1} \text{ (10-3)}$$

$$\text{light year } 0.0012041 = 9.230769231 = 92307.692 = D_1$$

إذن سُمك الحلقة $R = D_1 \times 20 = \text{light year } 0.024082$ ، فكانت نتائج الحسابات

الحالية تتطابق بشكل مقبول مع نموذج الحلقة المدروس من قبل

(Rudolph E.etal.,(2008) (Schild, R .and Vakulik, V.,2003)

ففي هذا النموذج نجد أن سُمك الحلقة الكبيرة = $0.02114 \text{ Light} = 10^{16} \times 2 \text{ cm}$

و كذلك بالنسبة للكوازر $2237+0305 \text{ Years}$

أن $Z_1=1.659$ و $Z_2=1.7$

هي قيم محسوبة سابقاً لصور الكوازر $2237+0305$

(Jaroszynski,M.andPaczynski,B. 1995).

$$\Delta Z = Z_2 - Z_1 = 0.041$$

$$X = C \Delta v \Delta Z$$

$$\Delta v = 10^8 \times 3 \times 0.041$$

$$\Delta v = 12300000 \text{ m/s}$$

في المعادلة (9-3) بالتعويض عن قيمة Δv وقيمة ثابت هابل $H_0 = 65$

$$65 = \frac{\Delta v}{D_1}$$

$$D_1 = 12300000065$$

$$D_1 = 0.000033406 \text{ Ly}$$

$$0.013362 \text{ ly} = 400 \times 0.000033406 \text{ ly} = R \text{ إذن سمك الحلقة}$$

وفي نموذج الحلقة المدروس من قبل:

(Jaroszynski,M.andPaczynski,B. 1995).

نجد أن سُمك الحلقة = $0.01585 \text{ Light Years}$

إذن نتائج الحسابات الحالية تتطابق بشكل مقبول مع نموذج الحلقة المدروس

2-2-3 حساب ثابت هابل:

تخمين قيمة ثابت هابل (في البحث الحالي من صور الكوازر 0957+561)

$$D1 \Delta v = H_0 \times \leftarrow \leftarrow V_0 = H_0 d \text{-----} (1-3)$$

(حيث أن Δv هو التباين في سرعة ظهور صورتَي الكوازر 0957+561)

$$D1 = T * C \text{ وبما أن}$$

$$C \times \Delta Z = \Delta v \text{ وأن}$$

$$\Delta Z * C = H_0 * T * C \text{ فيكون}$$

$$\Delta Z = H_0 * T$$

$$H_0 = \frac{T}{\Delta Z} .$$

وبتطبيق قيمة زمن التأخير المحسوبة سابقا لل 0957+561 the double quasar

$$T = 1.45 \pm 0.04 \quad (\text{Christopher S. Kochanek, 2008})$$

$$H_0 = \frac{1.45 \pm 0.04}{0.02} = (74.5 \gg 70.5) \text{ ثابت هابل تكون قيمته}$$

وهذه القيمة مقبولة لمقاربتها لحسابات (saha et al ,2006)

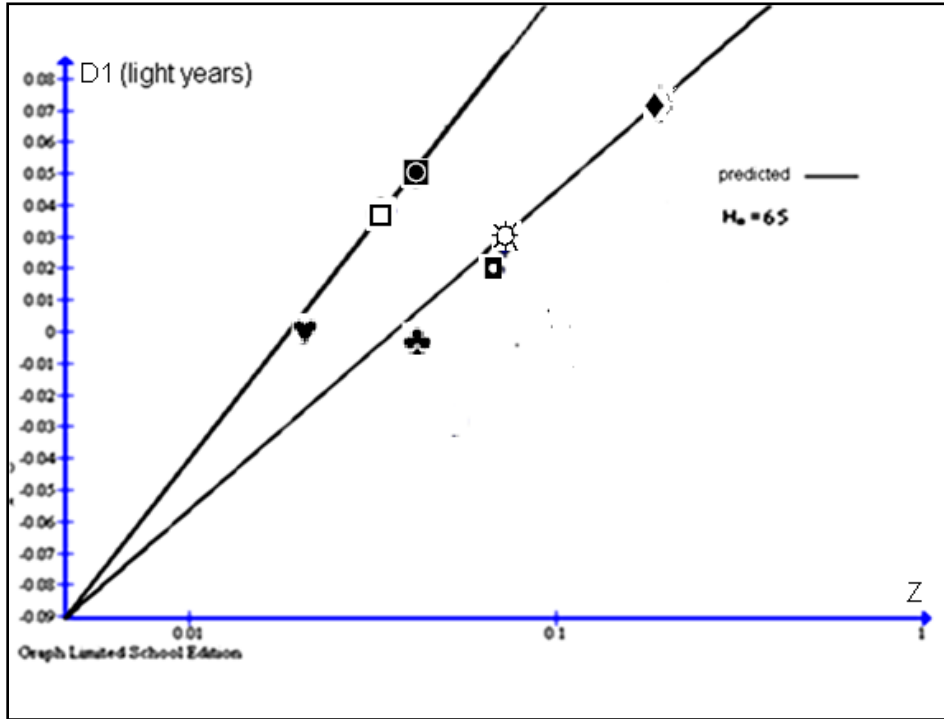
3-3 المسطرة الكونية وتخمين سمك المادة المعتمة

من الحسابات الحالية في 2-3 يكون بالإمكان تعميم القول انه يتناسب مقدار التغير في

الزحزحة الحمراء لمكونات الكون الرصود طرديا مع فرق المسار (فرق المسار = المسار

بوجود العدسة - المسار بعدم وجودها) المساوي، ويمكن رسم العلاقة الخطية بين $D1$ و Z .

انظر إلى الشكل البياني رقم (3-4)



Observed points

- ♥ (Rudolph Schild¹ and Viktor Vakulik², 2003)
- ▣ (Halton Arp, 1966)
- ◼ (Vestergaard, M., 2002)
- ♦ (Jianfeng Wu et al, 2011)
- ☼ (Bergeron J. et al, 1983)
- (Casey, C. M. et al, 2008)
- ♣ (Jaroszynski, M. and Paczynski, B. 1995)

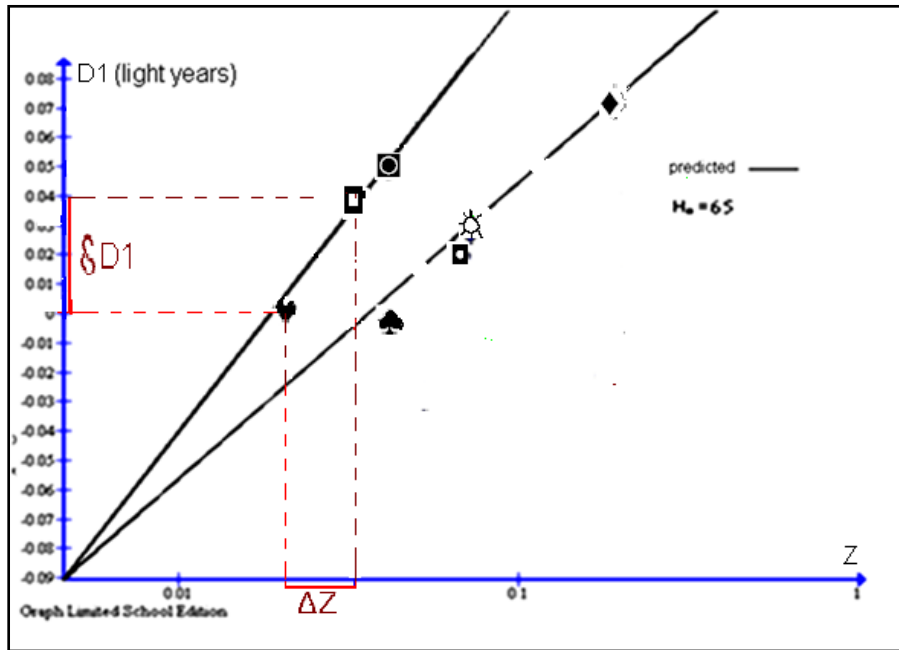
الشكل رقم (4-3) يبين فرق المسار مع الزحزحة الحمراء عند قيمة ثابت هابل $H_0=65$

وهذا التعميم معتمداً على أن المادة المعتمدة في الكون تمثل عدسة جاذبية، وهي لا يفترض بها أن تكون متساوية الكثافة وهذا ما أثبتته الكثير من الأبحاث السابقة، وبهذا تكون ظاهرة التعدس الجذبي ذات أهمية كبيرة، إذ يمكن بواسطتها تحديد عمر الكون وحجمه وتوزيع المادة فيه (المادة المعتمدة)، ففي حالة التعدس الجذبي الدقيق يحدث التذبذب في شدة الأشعة الكهرومغناطيسية الواصلة إلى الراصد الأرضي ومن خلال التعدس الجذبي الضعيف، يمكن

دراسة خريطة الكون، ومن خلال التعدس الجذبي القوي أمكن تخمين قيمة ثابت هابل ومقدار التأخر في زمن وصول الاشعة الصادرة عن المصدر المارة بالعدسة الجذبية إلى الراصد الأرضي.

ومن الدراسة الحالية في الفصل الثالث يمكن حساب $\partial D1$ المساوية لعرض المادة المعتمدة من خلال رسم شكل بقيم Z وقيم $D1$ المأخوذة من حسابات باحثين آخرين سابقين، فعند ذلك يمكن معرفة $\partial D1$ (التباين في فرق المسار بين جرمين) المساوي لعرض المادة المعتمدة بينهما، انظر الرسم البياني

(5-3)



الشكل (5-3) هي علاقة دالة التغير في $D1$ مقابل Z

فيمكن اعتماد الشكل (5-3) في حساب عرض المادة المعتمدة $\partial D1$ بين جميع مناطق الكون المرصود بمعرفة الزحزحة الحمراء للجرم وحسب الحسابات الحالية، ترى ان سمك المادة

المعتمدة $\partial D1$ (بين الكوازر 0957+ 561 و c1643 4631A+B) (p

$$\partial D1 = 0.049 \text{ light year}$$

فأمكن حساب عرض المادة المعتمدة بين هذه الاجرام المختلفة والمتباعدة عن بعضها كثيراً وبالتالي إذا استمر البحث عن كوازرات وأجرام جديدة، فبالإمكان تحديد شكل وبنية عامة للكون من زاوية رصدنا الارضي.

الجدول (3-3) يوضح معلومات طرفي المسطرة الكونية(الحسابات الحالية *)

Cosmological ruler توضيح معلومات المسطرة الكونية					
المصدر	قيمة التغير في الزحزحة $Z\Delta$	فرق المسار $D1^*$	سمك الحلقة الحسابات الحالية*	سمك الحلقة المرصود	الباحثون
Q 0957+561	0.02	0.0012041	$D1 * 20 = 0.024082$	0.02114 light year	Schild,R.,and Vakulik,V.,(2003)
Q 2237-305	0.041	0.000033406	$D1 * 20 * 20 = 0.013362$	0.01585 light year	Jaroszynski,M.& Paczynski,B.,(1995)

الجدول (4-3) يوضح قيم الزحزحة لمصادر وقيم فرق المسار لارصادات باحثين

المصدر	قيمة زحزحة المصدر Zs^*	$D1^*$	الباحثون
Quasar or Cluster of galaxies			
The quasar pair (pc 1643 4631A+B)	0.041	0.05055 Light year	(Casey C. M. etal ,2008)
galaxy MK 205	0.071	0.0264 Light year	(Halton Arp,1966)
PG 0921+535 Mrk110	0.035	0.039 Light year	(Vestergaard,M. , 2002)
RQQMR 2251-178	0.068	Light 0.02 year	(Bergeron J.etal ,1983)
Quasar PHL 1811,	0.192	0.074 Light year	(Jianfeng Wu etal,2011)

* الارصادات

1-4 الاستنتاجات والتوصيات:

حالما تتوفر معلومات عن نماذج حلقة جديدة يمكن اعتمادها كمقاييس ايضاً، فمن المسوح المستمرة للقبة الفلكية وبأيجاد كوازارات جديدة ومعرفة قيمة انحناء طيفها، يمكننا تحديد شكل وابعاد المادة المعتمدة في الكون، ومن الحسابات والنتائج الحالية في الفصل الثالث يمكننا الاستنتاج بانه اصبح ممكنا عمل مسطرة كونية (مسطرتنا المنتقاة الذي طرفها الاول معلومات الكوازار عالي البث الكهرومغناطيسي 0957 والطرف الثاني الكوازار 2237 واطىء البث) نقيس من خلالها المسافات الكونية للمادة المعتمدة على فرض أن العدسات الجذبية أساسا غير متناظرة وتكون جزءاً كبيراً منها المادة المعتمدة ولذلك أوصي باستمرار محاولات الكشف عن كوازارات جديدة وحالات تعدس جديدة ومن حصولنا على الزحزحة للكوازار يكون بالإمكان حساب عرض المادة المعتمدة التي تفصلنا عنه وباستخدام المعلومات المستحصلة من الكوازارات الجديدة بالإمكان عمل مساطر جديدة والحقيقة انه بعد ذلك يصبح في الامكان مقارنة المسافات الكونية المستحصل عليها من الطرق السابقة مع المسافات الكونية المستحصل عليها من التعدس الجذبي ومساطره الكونية.

كما انه كلما زادت مساحة الرصد أمكن الحصول على قيم جديدة لزحزحة الاجرام تستخدم معها المسطرة الحالية الكونية لتحديد أدق لقيمة ثابت هابل .

الملاحظات:

(1) هذا التباين في حساب قيم ثابت هابل يمكن عدّه دلالة على التباين في سرعة التمدد الكوني

في المراحل الزمنية المختلفة أنظر إلى المصادر (Abell. G. O,1993)

و (Takahiro T etal,1995).

(2) أن عد قيمة $D_1 = \partial$ عرض المادة المعتمدة، أتى من كون المادة المعتمدة يتخللها الكون وهي

مختلفة الكثافة وهي مع المادة المرصودة تكون منظومة تعدس جذبي كبير غير متناظر.

References المصادر

- Abell, G. O., D. Morrison, S. Wolf C., Exploration of the Universe, Sixth Edition, 1993, Saunders
- Acosta., (2001)" PHY3101 Modern Physics Lecture Notes" ApJ 529, 88
- Anguita T., (2009) "A combined observational and Theoretical study of gravitationally Lensed quasars", Thesis Submitted for Astronomisches Rechen-Institut Heidelberg.
- Asada H., (2009), "Five point mass Gravitational lenses in a Rhombus as a Soluble Model Giving the maximum Number of images", prog. theor. phys. 121, 1381
- Aubourg, E. etal., (1993) "Evidence for gravitational microlensing by dark objects in the Galactic halo ", Nature, 365, 623
- Bak, J. & Statler, T., (2000), "The Intrinsic Shape Distribution of a Sample of Elliptical Galaxies", AJ 120, 110–122.
- Barkana, R., (1997), "Analysis of Time Delays in the Gravitational Lens PG 1115+080", ApJ 489, 21.
- Bartel, Ed., Frittelli, S., Newman, E, (1985);, \An Exact Gravitational Lensing equation" Levrault, *Astrophys. J. Lett.* 294, 17
- Bartelmann, M, and Schneider, P., (2001), "Weak gravitational lensing"phys. Rept., 340, 291
- Beaulieu J, (2006), " Discovery of a cool planet of 5. 5 Earth masses through gravitational microlensing", *Nature* 439, 437-440.
- Bergeron, J., Dennefeld, M., Boksenberg, A., & Tarengi, M. (1983), "A nearby QSO embedded in a giant H II envelope", Royal Astronomical Society, Monthly Notices, 202, 125-143
- Blandford, R. Narayan, R., (1992) "Cosmological Applications of Gravitational Lensing", *Annu. Rev. Astron. Astrophys.* . 30: 3158

- Brecher, K., (1982), "Newton, Einstein, and gravity", in *Revealing the universe, :Prediction and Proof In Astronomy*, 17, MIT, press Cambridge
- Bunker, C., and Ignace, R., (2008), "Microlensing of Dusty Stellar Envelopes by point mass lens" *Journal of Southeastern Association for Research in Astronomy*, 2, 6-9
- Burud, I., (2000), "An Optical Time Delay Estimate for the Double Gravitational Lens System B1600+434", *ApJ* 544, 117–122
- Casey, C. Impey, M. Petry¹, A., (2008) "Quasar absorption and emission-line system" *The Astronomical Journal* 136 181
- Chang, K. & Refsdal, S., (1979), "Flux variations of QSO 0957+561 A, B and image splitting by stars near the light path", *Nature* 282, 561–564
- Charles R. Keeton (2001) "Cold Dark Matter and Strong Gravitational Lensing" *ApJ* 561, 46
- Chartas, G. Bautz, M. Garmire, G. Jones, C. and Schneider, D. P. "(2001 *Chandra* Observations of the Gravitationally Lensed System 2016+112", *APJ*, 550, 163.
- Chen, D., (2004), "Flux-limited strong gravitational lensing and dark energy" *Astron Astrophys*, 418, 387-392
- Christopher S. Kochanek, (2008) "The Hubble Constant from gravitational lens time delay, *Carnegie Observatories Astrophysics Series*, Vol. 2 (Cambridge: Cambridge Univ. Press)
- Claeskens, J. -F., Sluse, D., Riaud, P., & Surdej, J. (2006) "Multi wavelength study of the gravitational Lens model and source reconstruction", *A&A*, 451, 865
- Claeskens, J-F., Surdei, J., and Remy, M., (1996), "a new multiply imaged QSO candidate", *A&A*, 305, 9.

- Clifford, M. Will., (April 2011) "Theory and Experiment in Gravitational Physics" Washington University, St Louis, 13-66
- Courbin F., (2003), "Quasar lensing :the Observers point of view"Gravitational lensing :a unique tool for cosmology, ASP Conference Series, Belgium
- Eddington A., (1987) "Space, Time & Gravitation", Cambridge Univ. Press 50-109
- Erik, L., (2008), "Focussing on Weak Gravitational Lensing", ITF, Utrecht University, Netherlands, Dark Matter in Astrophysics. 58: 99-123
- Fahlman G., (1994) "Dark matter in MS 1224 from distortion of background galaxies", ApJ 437, 56–62
- Fischer P., Bernstein G., Rhee G., Tyson J. A., (1997), "The Mass Distribution of the Cluster 0957+561 From Gravitational Lensing", *Astron. J.* 113, 521
- Frieman, J. A., (1996), "Weak lensing and measurement of q_0 From type Ia Supernovae ", Com, Ap., 18, 323
- Frittelli, S., Newman, E., (1998) "An Exact Gravitational Lensing equation" General Lensing,, *Astrophys. J. Lett.* 294, 17
- Gavazzi, R., Treu, T., and Gerhard, O., etal, (2001), "Dynamical Family Properties and Dark Halo Scaling Relations of Giant Elliptical Galaxies", *Mark Swinbank, Institute for Computational Cosmology, University of Durham* p 1936–1951
- Gorenstein, M., Shapiro, I. & Falco, E. etal, (1988), "Degeneracies in gravitational lens parameter estimates for models of systems", 327, 693–711.
- Grossman, S. A. and Narayan, R., (1989), "Gravitationally lensed images in Abell 370", apj, 344, 637

- Halton, A., (1966). "ATLAS OF PECULIAR GALAXIES"[http://lempel.
pagespersoorange. fr/les_os_du_redshift_02_u. htm](http://lempel.pagespersoorange.fr/les_os_du_redshift_02_u.htm) [http://www.
phys. unsw. edu. au/einsteinlight](http://www.phys.unsw.edu.au/einsteinlight) sets)(Internet
- Hewitt, J. N., Burke, B. F., Turner, E. L., Schneider, D. P., Lawerence, C. R., and Langston, G. L., Brody, J. P., (1989), "Gravitational Lenses(Lecture Notes in physics), Berlin:Springer330, 147
- Holder G. P. & Schechter P. L. (2003) "External Shear in Quadruply Imaged Lens Systems", *ApJ*, 589 688
- Huchra, J., Gorenstein, M., Kent, S., et al. 1985, " Quasar Lensing: the Observer's Point of View" *Astron. J.* 90 691
- Irwin, M. J., Webster, R. L., Hewett, P. C., Corrigan, R. T., Jedrzejewski, R. I. (1989), " Cosmological Applications of Gravitational Lensing" *AJ*, 98, 1989
- Jaroszynski, M. andPaczynski, B. (1995)"Diffraction effects in Microlensing of Q2237+0305", *Astrophysical Journal*, 455, 443.
- Jianfeng Wu et al. "A Population of X-Ray Weak Quasars: PHL 1811 Analogs at High Redshift". (2011) *ApJ* 736 28. . .
- Kaiser, N., etal (1995) 'AMethod forWeak Lensing Observations', *ApJ* 449, 460.
- Kayser, N., and Squire G., (1993)., "Mapping the dark matter with weak gravitational lensing ", *APJ*, 404, 441
- Kneib, J. P., Mellier, Y., Fort, B., Mathez, G, (1993), "The distribution of Dark matter in Distant Cluster Lenses-Modelling ", *A&A*, 273, 367
- Koo, D. C., (1987), "Large scale motions in the universe "Princeton University Press, 513, 253
- Liddle A., 2003, "An Introduction to Modern Cosmology" (second Edition), University of Sussex, UK, P. 9.

- Lubbe C. Antonio, J, (2011), “The extended Conformal Einstein field equations” School of Mathematical Sciences, Queen Mary, University of London, United Kingdom. arXiv:1102. 2399
- Magain, P. Hutsemékers, D. Surdej, J. and Van Drom, E., (1992), “Search for gravitational lensing in a sample of highly luminous quasars”, 406, 88-96.
- Malow, D. R. ;Rusin, D., Norbury, M., Jackson, N., Browne, I. W. A., Wilkinson, P. N., Fassnacht, C. D., Myers, S. T., Koopmans, L. V. E., Blandford, R. D., Pearson, T. J., Readhead, A. C. S., and Debruyne, A. G., (2001), ”Class B0739+366: A new two-image Gravitational lens System”, AJ, 121, 619
- Mcclelland T., (2008), "A REVIEW OF THE HISTORY, THEORY AND OBSERVATIONS OF GRAVITATIONAL MICROLENSING UP UNTIL THE PRESENT DAY", MSC thesis for the degree of master, university of Canterbury
- Mosquera, A. Muñoz J, . and Mediavilla E., (2009), ” DETECTION OF CHROMATIC MICROLENSING IN Q 2237 + 0305 A “Valencia, Spain, The Astrophysical Journal, 691, 1292.
- Mukherjee, K., (2005), "Null geodesic deviation equation and models of gravitational lensing", ph. D, University of Pittsburgh
- Myers, S. T., (1999), "Scaling the universe :Gravitational lenses and Hubble constant ", Proc. Natl. Acad. Sci. USA, 96, 4236-4239
- Narayan A., Bartelmann, M., (1995), “Lectures on gravitational lensing”, Germany, Astrophysik, annual rept 1523, 85740.
- Nelemans Gijs*, (2001)” White dwarfs, black holes and neutron stars in close binaries” PhD thesis, University of Amsterdam.
- Newberg, H., Couch, W., (1999), “Supernova Cosmology Object”, astrophys, J. 517, 565.

- Ogri, M., Inada, N., Hennawi, J. F., Richards, G. T., Johnston, D. E., Friemam, J. A., Pindor, and York, D. G., (2004), "Discovery of two Gravitationally lensed Quasars with image Separations of 3 Arcseconds from the Sloan Digital Sky Survey ", ApJ, 622, 106-115.
- Paczynski, B., (1996), " Gravitational microlensing in the local group ", in press in Annual Review of Astronomy and Astrophysics, Vol, 34. 419, 459
- Paraficz, D., (2010)"Cosmological Applications of STRONG GRAVITATIONAL LENSING", Thesis Submitted for the Degree PHILOSOPHIÆ DOCTOR, Dark Cosmology Centre, Niels Bohr Institute
- Petters, A. O., Levine, H., Wambsganss, J., (2001), "Singularity Theory and Gravitational References", internal report, Cambridge University Press
- Robert, W. Schmidt., (2000) "Cosmological applications of gravitational lensing, PHD thesis, Potsdam University.
- Roger J. Anderton, 2009, " Einstein and (Michelson-Morley experiment)", the general science Journal [http://www. wbabin.net/science/anderton45. pdf](http://www.wbabin.net/science/anderton45.pdf)
- Rudolph E. etal., (2008)" DIRECT Microlensing-reverberation observation of the intrinsic magnatic structure of active galactic nuclei in different spectral states:a tale of two quasars" The Astronomical Journal 135, 947.,
- Rudolph, S. Vakulik, V., (2003)"Microlensing of a ring model for quasar structure ", the astronomical Journal, 126: 689-695
- Schneider, P., (1995), "Cosmological Applications of Gravitational Lensing", Astrophysics, Astrophys, 302, 639.

- Sereno, M. (2008), " The Gravitational Lens Equation", PHD Thesis, Napoli university
- Spergel, D. N., Bean, R., Doré, O&Wright, E. L. (2007), 'Three-Year Wilkinson Microwave Anisotropy Probe WMAP) Observations: Implications for Cosmology', *ApJS* 170, 377–408.
- Springer-Verlag, Berlin, Boston
- Sullivan, D. J., Korpela, A. and Chote, P., (2008), "The Wellington microlensing modelling program", The Manchester Microlensing Conference: The 12th International Conference
- Takahiro T. Nakamura A and Yasushi S (1995), " Probability distribution of the Hubble constant and the age of the universe inferred from local observations" Department of Physics, University of Tokyo, internal report.
- Tucker, D., Hashimoto, Y., Kirshner, R., & Schechter, S. (1997) "Groups of Galaxies in the Las Campanas Redshift Survey" Potsdam Cosmology Workshop
- Tyson, J.A., Wenk, R. A., and Valdes, F., (1990), "detection of systematic gravitational lens galaxy image alignments-Mapping dark matter in galaxy clusters ", *APJ* 349, 1
- Udalski, A., (1993), "The optical gravitational lensing experiment. Discovery of the first candidate microlensing event in the direction of the Galactic Bulge", *Acta Astron.*, 43, 289-294
- Vestergaard, M., (2002)" Determining Central black hole masses in distant active galaxies", Department of Astronomy, Ohio State University, internal report
- Waerbeke, L. V., and Mellier, Y., (1996), " Probing the Universe with Weak Lensing", *Annual Review of Astronomy and Astrophysics*, Institut of Astrophysics, Paris, . 37, 127-189

- Walsh D., Carswell R. F., Weymann R. J., (1979), "0957+561 A, B: twin quasistellar objects or gravitational lens?", *Nature* 279, 381
- Wambsganss, J. (1997), "effects of weak gravitational lensing from large – scale structure on determination of q_0 " the APJ 475, 81-84
- Wambsganss, J., (2001), "Gravitational lensing in Astronomy", Max-Planck-Gesellschaft. ISSN, Potsdam, Germany, 1433-8351,
- Weymann, R. J., Latham, D., Roger, J. (1980), "Observations of Q0957+561A, B" *Nature*, 285, 641.